

## پترولوزی و سن‌سنگی زیرکن به روش U-Pb در توده‌های نفوذی مناطق A، C جنوبی و دردی، معدن سنگ آهن سنگان خواف

عباس گلمحمدی<sup>\*</sup>، محمدحسن کریم‌پور<sup>۲</sup>، آزاده ملک‌زاده شفارودی<sup>۲</sup>، سید احمد مظاہری<sup>۲</sup>

(۱) دانشجوی دکتری زمین‌شناسی اقتصادی دانشگاه فردوسی مشهد

(۲) گروه پژوهشی اکتشاف ذخایر معدنی شرق ایران، دانشگاه فردوسی مشهد، ایران

دریافت مقاله: ۱۳۹۲/۱/۱۵، پذیرش: ۱۳۹۲/۵/۱۹

### چکیده

معدن سنگ آهن سنگان خواف در ۳۰۰ کیلومتری جنوب شرقی مشهد، در شرق کمربند آتشفشاری- نفوذی خواف- کاشمر- بردسکن قرار دارد. توده‌های گرانیتوئید در سه محدوده معدن سنگ آهن سنگان شامل نواحی A، C جنوبی و دردی مورد مطالعه قرار گرفتند. سه توده نفوذی بیوتیت هورنبلند مونزونیت پورفیری، بیوتیت سینیت و سینوگرانیت در مناطق مورد مطالعه شناسایی شد. براساس روابط قطع شدگی صحرایی، عدم وجود گارنت اسکارن و مگنتیت در مرز این توده‌ها و آلتراهشدن آنها توسط محلول کانه‌دار بعدی، این توده‌های گرانیتوئیدی از اسکارن مگنتیت دار قدیم‌ترند. سن‌سنگی زیرکن به روش U-Pb سن آنها را ۴۲ میلیون سال قبل (ائوسن میانی) تعیین می‌کند. مقدار پذیرفتاری مغناطیسی آنها بین  $310 \times 10^{-5}$  تا  $900 \times 10^{-5}$  SI است، بنابراین متعلق به گرانیتوئیدهای سری مگنتیت (اکسیدان) و از نوع I هستند. براساس بررسیهای ژئوشیمیایی، توده‌های نفوذی عمده‌اً از نوع متالومینوس، منیزیمی، آلکالی کلسیک تا آلکالیک و شوشومنیتی تا اولتراتاسیک می‌باشند. غنی‌شدگی نسبی عناصر LREE و عناصر HFSE نسبت به LILE (Sr, Cs, Rb, K and Ba) نسبت به Rb/Sr و مقدار بالای نسبت La/Yb (La/Yb = ۶/۲۹ تا ۳۴/۷۳) توجیه‌پذیر است. مقدار بالای نسبت Rb/Sr و Nb و مقدار بالای K<sub>2</sub>O و Th و Nb نقش اختلاط پوسته قاره‌ای را روشن می‌کند. بررسیهای پترولوزیکی و تعیین سن دقیق توده‌های نفوذی موجود در معدن سنگان به عنوان بخشی از کمربند آتشفشاری- نفوذی خواف- کاشمر- بردسکن، به شناخت هرچه بهتر جایگاه تکتونوماگمایی این کمربند و نیز چگونگی ارتباط توده‌های نفوذی با کانی‌سازی برای اکتشاف بیشتر در آینده کمک خواهد کرد.

**واژه‌های کلیدی:** معدن سنگان، پترولوزی توده‌های نفوذی، سن‌سنگی زیرکن، مناطق A-C- جنوبی و دردی.

است (شکل ۱). چند آنومالی کوچک نیز در شرق معدن به نامهای فرزنه، معدن جو، سم‌آهنی و ستجدک وجود دارد. مناطق موردمطالعه در این مقاله شامل مناطق A، C جنوبی و دردی است (شکل ۱).

معدن سنگان از دیرباز مورد شناسایی قرار گرفته است. کانی‌سازی آن از نوع اسکارن آهن است. مطالعات قبلی گستردگی روی کانی‌شناسی اسکارن، ژئوشیمی توده‌های مگنتیت و اسکارن، کانی‌سازی، ژئوشیمی سنگ منشأ و

### مقدمه

معدن سنگ آهن سنگان خواف در حدود ۳۰۰ کیلومتری جنوب شرقی مشهد و ۴۰ کیلومتری جنوب شرقی خواف در استان خراسان رضوی قرار دارد. این معدن در شرق کمربند آتشفشاری- نفوذی خواف- کاشمر- بردسکن در شمال گسل درونه واقع شده است. توده‌های مگنتیتی معدن سنگان به طور عمده روند شرقی- غربی داشته و از غرب به شرق به ترتیب شامل A، B، A-C- جنوبی، C- شمالی، باغک و دردی

کانیهای سنگین با مایع برموفورم، تعداد ۴۰ عدد زیرکن با طول بزرگتر از ۳۰ میکرون در زیر میکروسکپ دوچشمی به روش دست‌چینی جدا شد. زیرکن‌های جداسده برای تعیین سن به مرکز Laser Chron آریزونا در دانشگاه آریزونای امریکا فرستاده شدند. در آن‌جا از روش Laser-Ablation multi collector ICP-MS می‌شود. زیرکن‌ها ابتدا در یک پلاک اپاکسی به قطر ۱ اینچ همراه با خرده‌هایی از زیرکن استاندارد ID-TIMS و شیشه‌های NIST SPM610 قالب‌گیری شده، سپس این پلاکها نصفشده و صیقل می‌خورند. عکس زیرکن‌ها در نور عبوری، انعکاسی و نیز در زیر میکروسکپ کاتدولومینسانس (CL) گرفته می‌شود.

تصویر CL ساختار داخلی دانه‌های زیرکون برش‌خورده را نشان می‌دهد و با استفاده از آن مکانهای مناسب برای اشعه Laser در قسمتهای هموزن بلور انتخاب می‌گردد. روش-Laser-Ablation ICP-MS قادر است تا سن‌سنگی به روش اندازه‌گیری U-Pb را با صحت بهتر از ۲٪ (۲ سیگما) و تفکیک مکانی چند میکرون انجام دهد. این روش عموماً با یک اشعه به قطر ۳۵ یا ۲۵ میکرون و اگر لازم باشد در دانه‌های ریزتر به قطر ۱۵ یا ۱۰ میکرون، صورت می‌پذیرد. اشعه ۳۵ یا ۲۵ میکرونی با نسبت تکرار ۸ هرتز و انرژی ۱۰ میکروژول تنظیم می‌شود که می‌تواند یک سیگنال تقریباً ۱۰۰۰۰ cps در گرم در تن برای U در زیرکن تولید کند. برای اندازه‌های کوچکتر اشعه لیزر، انرژی ۶۰ (۶۰ میکروژول) و نسبت تکرار (۴ هرتز) کاهش می‌یابد. در هر دو حالت ذکر شده مواد برانگیخته شده توسط اشعه لیزر از یک اتاقک گاز هلیم عبور می‌کنند. گاز هلیم و نمونه برانگیخته شده قبل از ورود به محیط پلاسما ICP-MS با گاز آرگون مخلوط می‌شوند. مقدار Pb ایزوتوبی نسبت به Th و U به کمک نمونه استانداردی که همراه با زیرکن‌ها قالب‌گیری شده و هر بار با اندازه‌گیری سه تا پنج نمونه مجهول، اندازه‌گیری آن تکرار می‌شود، محاسبه می‌گردد. نمونه استاندارد زیرکن ID-TIMS نمونه زیرکنی از سریلانکا با سن  $3/2 \pm 5/2$  Ma می‌باشد. همچنین مقدار Th و U نمونه‌های مجهول با شیشه‌های NIST SRM610 مورد سنجش قرار می‌گیرد. مقدار U این شیشه‌ها ۴۶۲ گرم در تن و مقدار Th آن ۴۵۷ گرم در تن است. قطعیت آنالیزهای انجام‌شده حدود ۲ سیگما (تقریباً ۱ درصد) برای  $^{206}\text{Pb}/^{238}\text{U}$

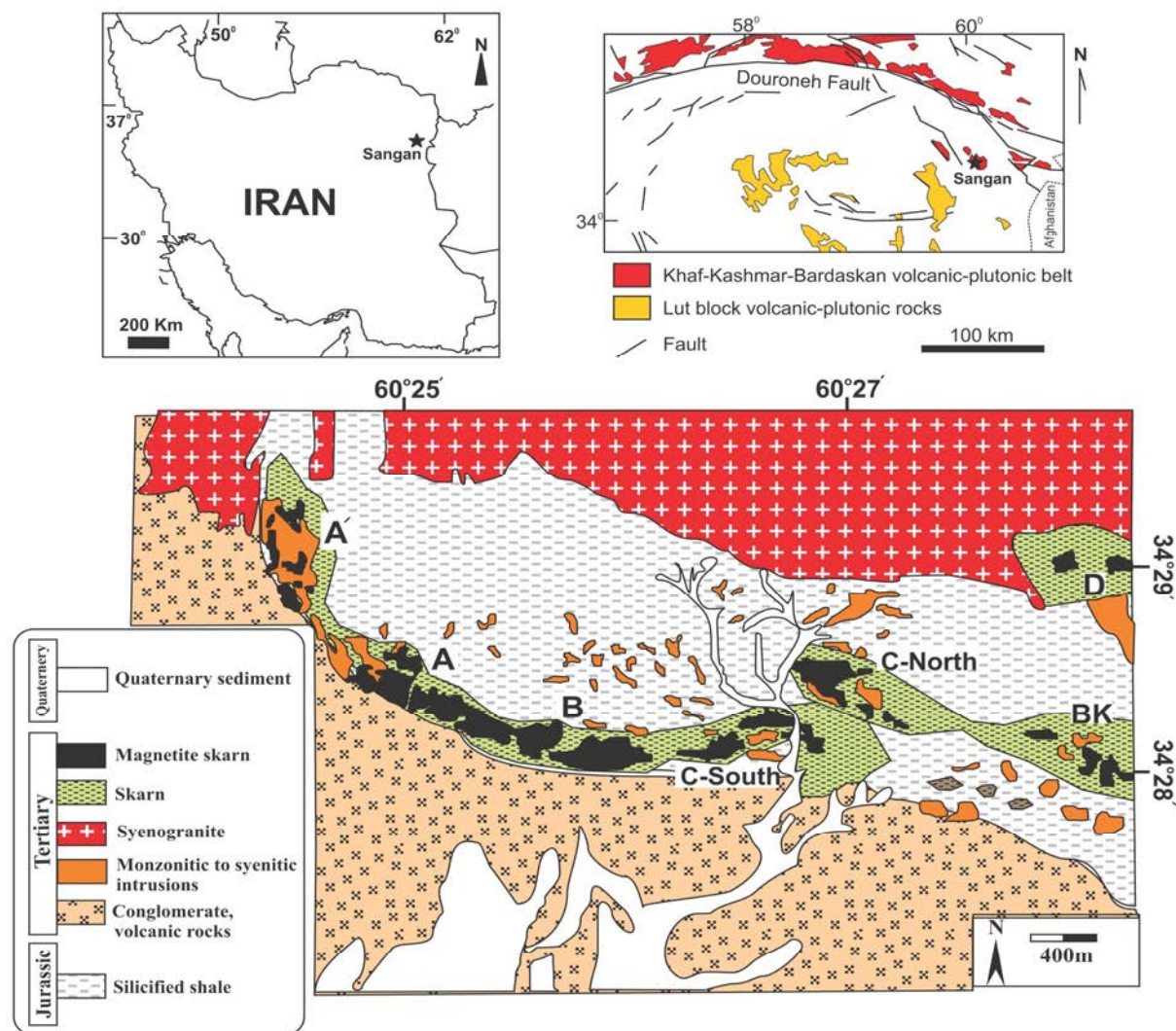
پترولوزی و سن‌سنگی توده‌های نفوذی در محدوده باغک و شمالی آن انجام شده است [۱۶-۱]. توده‌های نفوذی درونی و نیمه‌عمیق متعددی در محدوده معدن سنگان وجود دارد که برخی قدیمی‌تر از کانی‌سازی آهن، بعضی مرتبط با کانی‌سازی و تعداد کمتری پس از کانی‌سازی در منطقه نفوذ نموده‌اند. ملکزاده و همکاران [۱۶] سه گروه توده نفوذی متفاوت را براساس روابط صحرایی، ارتباط با تشکیل اسکارن حرارت بالا و کانی‌سازی مگنتیت و سن‌سنگی زیرکن به روش U-Pb در محدوده باغک و C شمالی معرفی کردند که در این میان توده‌های نفوذی سینوگرانیتی با سن ۳۹ میلیون سال مرتبط با کانی‌سازی تشخیص داده شدند [۱۶]. هدف از این مقاله بررسی پترولوزی و سن‌سنگی گروه دیگری از توده‌های نفوذی محدوده معدن در مناطق A، C جنوبی و دردیوی است که برای نخستین بار صورت پذیرفته است. بدون شک بررسیهای پترولوزیکی و تعیین سن دقیق توده‌های نفوذی موجود در معدن سنگان به عنوان بخشی از کمربند آتشفسانی- نفوذی خواف- کاشمر- بردسکن، به شناخت هر چه بهتر جایگاه تکتونوماگمایی این کانی‌سازی برای اکتشاف بیشتر در آینده کمک خواهد کرد.

#### روش مطالعه

- مطالعه حدود ۱۵۰ مقطع نازک از توده‌های نفوذی سطحی و زیرسطحی از مناطق A، C جنوبی و دردیوی.
- انتخاب ۱۳ نمونه از توده‌های نفوذی بدون آلتراسیون و XRF هوازدگی و تجزیه برای اکسیدهای اصلی با دستگاه فیلیپس (مدل II Unique X) در گروه زمین‌شناسی دانشگاه فردوسی مشهد از سه منطقه مذکور.
- تجزیه همان ۱۳ نمونه برای عناصر فرعی و نادر خاکی (REE) در آزمایشگاه ACME (کانادا) به روش ذوب قلیایی با دستگاه ICP-MS.
- انجام مطالعه سن‌سنگی به روش U-Pb با استفاده از تکنیک Laser-Ablation در کانی زیرکن در دانشگاه آریزونای امریکا در این روش دو نمونه از توده‌های مونزونیتی و گرانیتی مناطق A (نمونه Saak40) و دردیوی (نمونه Sad20) انتخاب شد. پس از انجام عملیات خردایش، لاوکشوی و جداسازی

انجام می‌گیرد. سنهای میانگین  $^{206}\text{Pb}/^{238}\text{U}$  با حد اطمینان ۹۵/۹ تا ۹۶/۹ درصد در این روش محاسبه می‌شود.

و  $^{206}\text{Pb}/^{207}\text{Pb}$  است. پس از اتمام کار، رسم نمودار کنکردیا، رسم نمودارهای تراکمی و محاسبات سنهای میانگین از داده‌های  $^{206}\text{Pb}/^{238}\text{U}$  و  $^{206}\text{Pb}/^{207}\text{Pb}$  توسط ISOPLOT/EX



شکل ۱. موقعیت معدن سنگان در ایران، کمربند خوف-کاشمر- بردسکن و نقشه زمین‌شناسی ساده‌شده آن همراه با موقعیت توده‌های مگنتیت

قدیمی‌ترین واحدهای سنگی معدن شامل شیلهای سیلیسی و آهک کریستالین است. رخمنوهای این واحدها در بخش شمالی توده‌های مگنتیت مشاهده می‌شود (شکل ۱). سنگهای کربناته اغلب به اسکارن و مرمر دگرگون شده‌اند و به طرف شرق به صورت آهک کریستالین یافت می‌شوند. سن سنگهای کربناته به ژوراسیک فوکانی و کرتاسه زیرین نسبت داده می‌شود. کانی‌سازی در این سنگها به صورت انواع اسکارن تشکیل شده است [۱]. مجموعه عظیمی از سنگهای

زمین‌شناسی  
معدن سنگ آهن سنگان خوف بخشی از کمربند ولکانیکی- پلوتونیکی خوف-کاشمر- بردسکن است. این کمربند ماگمایی با گسترش شرقی- غربی و خمیدگی به سوی شمال، در شمال گسل درونه قرار دارد و عمدتاً از سنگهای آتشفسانی اسیدی تا حد واسطه و بعضًا مافیک با سن ترشیاری تشکیل شده که توده‌های گرانیتوئیدی با ترکیبی از گرانیت تا مونزونیت در آنها نفوذ کرده‌اند (شکل ۱).

مناسب برای تشکیل ذخایر نوع Iron-oxide معرفی کردند که در نتیجه کانسار سنگان در رده همین دسته از کانسارها نیز قرار می‌گیرد. اسکارن‌های سنگان (در بخش شرقی معدن) طی دو مرحله اولیه درجه حرارت بالا یا پیش‌رونده (I و II) و دو مرحله درجه حرارت پایین‌تر یا پس‌رونده (III و IV) به وجود آمده است. در مرحله I سنگ آهک عمدتاً کلسیتی توسط اسکارن مجاورتی جای‌گزین گشته و با گارنت آندرادیتی - فراوان مشخص می‌شود. مرحله II با مجموعه آندرادیتی - هدنبرگیتی مشخص گردیده و مرحله III عمدتاً با آمفیبیول غنی از آلومینیوم (هاستینگزیت) و مرحله IV با آمفیبیول کم آلومینیوم (فروآکتینولیت، کلریت و مگنتیت) تظاهر یافته است [۱۰ و ۱۱]. مجموعه آندرادیت - هدنبرگیت در دمای کمتر از ۵۵۰ درجه سانتی‌گراد تشکیل شده و حداقل دمای تشکیل مگنتیت ۲۸۰ درجه سانتی‌گراد است، در حالی که بخشی از تشکیل کانیهای سولفیدی، کربناته و سیلیکاته آب‌دار در حرارت‌های پایین‌تر تشکیل شده‌اند [۱۷]. به طور کلی از سمت غرب به شرق معدن، اسکارن حرارت بالا به اسکارن حرارت پایین و نیز اسکارن کلسیمی به اسکارن منیزیمی تبدیل می‌شود که از روی کانی‌شناسی اسکارن و پارازنهای مگنتیت کاملاً مشخص است. به طوری که پارازنز مگنتیت در منطقه A شامل آندرادیت، هدنبرگیت، آمفیبیول نادر حرارت بالا غنی از کلر، فلوئور و پتاسیم، کلسیت و کوارتز است. در مناطق B و C جنوبی، کانیهای فروآکتینولیت، کلریت، کوارتز و کلسیت و در منطقه باگ و C شمالی دولومیت، کلینوکلر، فورستریت، آمفیبیول و فلوگوپیت مهمترین پارازنهای مگنتیت هستند. در منطقه دردی نیز فلوگوپیت، آندرادیت، اکتینولیت و دولومیت، کانی‌شناسی اسکارن را تشکیل می‌دهد [۱۵]. کانیهای فلزی منطقه شامل مگنتیت + هماتیت  $\pm$  گوتیت  $\pm$  (پیریت  $\pm$  پیروتیت  $\pm$  کالکوپیریت عمدتاً در مناطق باگ و C- شمالی) می‌باشد. مگنتیت مهمترین کانه آهن در معدن سنگان است. مقدار آن در نمونه‌های مختلف از ۳۰ تا ۹۵ درصد متغیر است. مگنتیت به صورت جانشینی با بافت متراکم و توده‌ای، پراکنده در متن سنگ، گاهی تکتونیکی و در برخی قسمتها مانند توده C - شمالی به موازات لایه‌بندی اسکارن است [۱۳]. شرکت تهیه و تولید مواد اولیه فولاد خراسان [۱۹] میزان کل ذخیره زمین‌شناسی سنگان را ۱/۲ میلیارد تن برآورد کرده است.

آتشفسانی شامل داسیت، ریوداسیت، تراکیت، پیروکلاست‌های آندزیتی و سنگهای ولکانوکلاستیک همراه با میان‌لایه‌های کنگلومرا در جنوب منطقه مشاهده می‌شوند که بیشتر آنها مربوط به کرتاسه تا اوایل ائوسن هستند (شکل ۱). در قسمت شمالی معدن، گرانیت سرنوسر با سن احتمالی ائوسن بالایی - الیگوسن پایینی نفوذ کرده است. بومری [۱۷] گرانیت سرنوسر را به عنوان منشأ اسکارن معرفی کرده است؛ اما کریم‌پور و ملک‌زاده شفارودی [۱۵] مشخص نمودند که وجود کانیهای غنی از پتاسیم همانند آمفیبیول خاص موجود در توده A' و یا وجود کانیهای پتاسیم‌دار مثل فلوگوپیت در توده‌های باگ و C، حکایت از محلول ماقمایی آهن دار غنی از پتاسیم دارد که با نفوذ در سنگهای کربناته به طریق جانشینی متاسوماتیزم، اسکارن مگنتیت غنی از کانیهای پتاسیم‌دار را موجب شده است. رخنمونهای از سنگ منشأ سینیتی التراپتاسیک با  $K_2O$  بیش از ۹ درصد در منطقه A' و در مجاورت اسکارن گارنت‌دار وجود دارد [۱۵]. همچنین در بخش‌های شمالی منطقه واحد سینوگرانیتی در مجاورت اسکارن گارنت‌دار و مگنتیت شناسایی شد که شواهد اندواسکارن در آن دیده شده و یکی دیگر از سنگ منشأ کانی‌سازی اسکارن است [۱۶]. سن این واحد ۳۹ میلیون سال تعیین شده است [۱۶].

در مناطق A، C جنوبی و دردی سه نوع توده نفوذی بیوتیت هورنبلند مونزونیت پوروفیری، بیوتیت کوارتز سینیت و سینوگرانیت شناسایی شد که براساس روابط صحرایی و شواهد اسکارنی شدن، به نظر می‌رسد این توده‌ها قبل از مرحله اصلی کانی‌سازی نفوذ کرده‌اند. در واحدهای کربناته مجاور این توده‌ها اثری از گارنت اسکارن دیده نمی‌شود و سنگ کربناته فقط کمی تبلور مجدد یافته است. علاوه‌بر آن محلول کانه‌دار که توسط توده‌های نفوذی مرتبط با کانی‌سازی بعدی ایجاد شده است، باعث آلتره‌شدن این توده‌ها نیز شده است. سرسیتی‌شدن و کمی اپیدوتی‌شدن از جمله آلتراسیون‌های متداول این واحدهای است.

### کانی‌سازی

کریم‌پور [۱] کانی‌سازی آهن سنگان را از نوع اسکارن معرفی نمود. همچنین کریم‌پور و همکاران [۱۸] و کریم‌پور [۱۵] کمربند خواف- کاشمر- برداشتن را اولین بار به عنوان پتانسیلی

نفوذی مونزونیتی، گرانیتی و سینیتی مناطق A، C جنوبی و دردی در جدول (۱) ارائه شده است.

اکسیدهای اصلی: مقدار  $\text{SiO}_2$  توده‌های نفوذی مناطق مورد مطالعه از ۶۱/۶۸ تا ۷۲/۱۵ درصد متغیر است. ترسیم نمونه‌ها در نمودار نام‌گذاری [۲۰] نشان می‌دهد که نمونه‌ها در محدوده گرانیت، مونزونیت و سینیت قرار می‌گیرند (جدول ۱ و شکل ۲). براساس نمودار نسبت مولی  $\text{Al}_2\text{O}_3/\text{Na}_2\text{O}+\text{K}_2\text{O}$  به  $\text{Al}_2\text{O}_3/\text{CaO}+\text{Na}_2\text{O}+\text{K}_2\text{O}$  [۲۱]، توده‌های نفوذی عمدتاً ماهیت متا‌آلومینوس و بعض‌اً پرآلومینوس دارند. همچنین برطبق تقسیم‌بندی [۲۲]، محدوده A/CNK کمتر از ۱/۱ متعلق به گرانیت‌وئیدهای نوع I و بیش از ۱/۱ مربوط به گرانیت‌وئیدهای نوع S است که براین اساس بخش اعظم نمونه‌ها از نوع I می‌باشد (شکل ۳). مقدار  $\text{K}_2\text{O}$  توده‌ها از ۴/۰ تا ۹/۶۳ درصد متغیر است که بیشترین مقادیر در واحدهای مونزونیتی و سینیتی منطقه C جنوبی و کمترین در نمونه‌های دردی دیده می‌شود (جدول ۱). همچنین نسبت  $\text{K}_2\text{O}/\text{Na}_2\text{O}$  از ۱/۱۵ تا ۸/۶ در تغییر است (جدول ۱). براساس نمودار  $\text{K}_2\text{O}$  در مقابل  $\text{Na}_2\text{O}$  [۲۳]، توده‌های نفوذی منطقه دردی در محدوده شوشومنیتی و مناطق A و C جنوبی در محدوده شوشومنیتی تا التراپاتاسیک قرار دارند (شکل ۴). همچنین قرارگیری نمونه‌ها در [۲۴] نشان‌دهنده ماهیت منیزیمی و نیز آلکالی کلسیک تا آلکالیک است (شکل ۵).

عناصر فرعی و نادر خاکی: بر پایه مقدار عناصر Rb، Nb، Y و در نمودار [۲۵]، موقعیت تکتونیکی تشکیل توده‌های نفوذی، کمربندهای آتشفشاری زون فرورانش (VAG) است. برخی نمونه‌ها به علت داشتن Rb بالا که نتیجه مقدار پتانسیم بالا در نمونه‌های است در مرز محیط همزمان با تصادم نیز قرار گرفته‌اند (شکل ۶). همچنین در نمودار  $\text{Th}/\text{Hf}$  در مقابل  $\text{Ta}/\text{Hf}$  [۲۶] نمونه‌ها در محیط حاشیه قاره فعال واقع می‌شوند (شکل ۷).

عناصر REE نسبت به سایر عناصر به مقدار کمتری در معرض هوازدگی و آتراسیون‌های هیدروترمالی قرار می‌گیرند، بنابراین الگوی فراوانی آنها می‌تواند نشانه‌هایی از منشأهای آذرین سنگها را اثبات کند [۲۷ و ۲۸]. نمودار عناصر نادر خاکی (REE) توده‌ها که نسبت به کندریت نرم‌الیزه شده، یک غنی شدگی نسبی در عناصر نادر خاکی سبک (LREE) را نسبت به عناصر نادر خاکی سنگین (HREE) نشان می‌دهد که البته عناصر HREE نیز یک روند نسبتاً مسطح را آشکار

### پتروگرافی توده‌های نفوذی

بیوپیت هورنبلند مونزونیت پورفیری: بافت آن پورفیری تا گلومروپورفیری با زمینه دانه‌متوسط است. حدود ۴۵ تا ۴۰ درصد درشت‌بلور دارد که شامل ۱۶ تا ۱۸ درصد پلازیوکلاز (نوع آندزین) تا اندازه ۷ میلی‌متر، ۱۴ تا ۱۶ درصد فلدسپات پتانسیم (ارتوكلاز) تا اندازه حدود ۸ میلی‌متر، ۵ تا ۷ درصد هورنبلند تا اندازه ۴ میلی‌متر و ۳ تا ۴ درصد بیوپیت تا اندازه ۳ میلی‌متر است. زمینه سنگ مشکل از فلدسپات‌ها، بیوپیت، هورنبلند، کوارتز، کانیهای اپک، فرعی و ثانویه است. زیرکن مهمترین کانیی فرعی سنگ می‌باشد. کانیهای تیره (کدر) که عمدتاً مگنتیت هستند به صورت شکل دار تا نیمه‌شکل دار و در ابعاد بعض‌اً ۰/۶ میلی‌متر در حد ۱ تا ۲ درصد مشاهده می‌گردند. فلدسپات‌ها بعض‌اً تا ۵۰ درصد به سرسیت تبدیل شده‌اند و سرسیتی شدن مهمترین آتراسیون موجود در این واحد است که در برخی قسمتها دیده می‌شود.

سینوگرانیت: بافت آن هیپیدومورف گرانولار و بعض‌اً میرمیکتی است. حدود ۴۰ تا ۴۵ درصد کوارتز تا اندازه ۷ میلی‌متر، ۳۵ تا ۴۰ درصد فلدسپات پتانسیم تا اندازه ۱۰ میلی‌متر و ۱۰ تا ۱۵ درصد پلازیوکلاز (نوع الیگوکلاز- آندزین) تا اندازه ۸ میلی‌متر دیده می‌شود. کانیهای تیره (کدر) (مگنتیت) تا ۰/۲ میلی‌متر در حد کمتر از ۱ درصد در متن سنگ وجود دارد. زیرکن مهمترین کانی فرعی سنگ می‌باشد. این واحد تحت تأثیر آتراسیون سرسیتی و کمی آپیدوتی قرار گرفته است. فلدسپات‌ها بعض‌اً تا ۳۰ درصد به سرسیت و کمتر اپیدوت تبدیل شده‌اند.

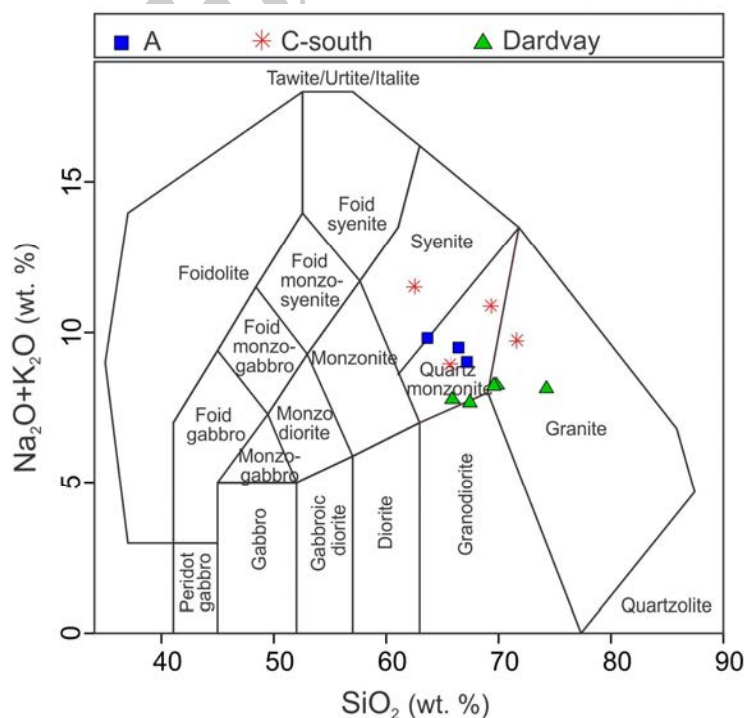
بیوپیت کوارتز سینیت: بافت آن هیپیدومورف گرانولار و بعض‌اً میرمیکتی است. حدود ۵۰ تا ۵۵ درصد فلدسپات پتانسیم (ارتوكلاز) تا اندازه ۷ میلی‌متر، ۲۰ تا ۲۵ درصد پلازیوکلاز (الیگوکلاز- آندزین) تا اندازه ۵ میلی‌متر، ۱۰ تا ۱۵ درصد کوارتز تا اندازه ۵ میلی‌متر و ۵ درصد بیوپیت تا اندازه ۴ میلی‌متر دیده می‌شود. کمتر از ۱ درصد مگنتیت تا اندازه ۰/۲ میلی‌متر دیده می‌شود. زیرکن مهمترین کانی فرعی سنگ است. کانیهای ثانویه شامل حدود ۵ درصد سرسیت است که در مرکز فلدسپات‌ها دیده می‌شود.

**ژئوشیمی توده‌های نفوذی**  
نتایج آنالیز اکسیدهای اصلی، فرعی و نادر خاکی توده‌های

نمودار عنکبوتی عناصر فرعی و برخی عناصر نادر خاکی نرمالیزه شده نسبت به گوشه اولیه برای توده های نفوذی، در شکل ۹ نشان داده شده است. غنی شدگی از عناصر LILE (Rb, Ba, Cs و عناصر ناسازگاری که رفتار شبیه آنها دارند مثل Th, Nb, Ta, Zr, Y) در همه نمونه ها نسبت به گوشه اولیه دیده می شود و تفاوت های اندک مربوط به تغییر ترکیب کلی سنگ است (شکل ۹). غنی شدگی در عناصر LILE نسبت به HFSE نشان دهنده ماقمای مرتبط با مناطق فروانش است [۲۷، ۲۹، ۳۰ و ۳۱]. احتمال این که عناصر HFSE در فازهایی مانند روتیل و یا ایلمنیت وارد شوند بسیار زیاد است که این مطلب به وجود ورقه فروانده شده اشاره می کند [۳۲]. مقادیر پایین Ti, Nb, Ta می توانند نتیجه وجود اکسیدهای Fe-Ti یا کانیهای Nb و Ta در باقی مانده ماقمای مادر در محل مخزن باشد [۳۳-۳۵]. همچنین مقادیر Nb و Ta می توانند منعکس کننده تهی شدگی رخداده قبلی در سنگهای مخزن گوشه باشد [۳۶ و ۳۷]. آنچه جاری منفی فسفر در نمونه ها می تواند در نتیجه جدا شدن آیاتیت از ماقما باشد [۳۸].

کرده‌اند (شکل ۸). این روند غنی‌شدگی در LREE نسبت به HREE شاخص مانگمای تشکیل شده در زون فرورانش است [۲۷ و ۲۹ تا ۳۱]. تفاوت در الگوی برخی نمونه‌ها مربوط به تغییر ترکیب سنگ است. الگوی عناصر REE و پایین بودن نسبت  $\text{La/Yb}$  (۰/۶۴/۷۳ تا ۰/۴۶) در همه نمونه‌ها نیز تشکیل مانگما در عمق کمتر از گستره پایداری گارنت و یا کم بودن مقدار این کانی در ناحیه منشأ را اثبات می‌کند. همچنین عنصر Eu در همه نمونه‌ها ناهنجاری منفی نشان داده، به طوری که مقدار  $\text{Eu/Eu}^*$  در حد کمتر از ۰/۷۸ است (جدول ۱ و شکل ۸). کم بودن این عنصر می‌تواند به دلیل حضور پلازیوکلاز در ناحیه منشأ و یا تبلور تفریقی این کانی باشد.

عناصر لیتوفیل با شعاع یونی بزرگ (LILE)، عناصری ناسازگار و متحرکند در حالی که عناصر واسطه با شدت میدان بالا (HFSE) و برخی از عناصر متحولی در شرایط دگرگونی و دگرسانی، عناصری سازگار و تقریباً نامتحركند. غلظت عناصر لیتوفیل با شعاع یونی بزرگ به عنوان تابعی از فاز شاری است؛ در حالی که غلظت عناصر واسطه با شدت میدان بالا تابعی از شیمی سنگ خاستگاه و فرآیندهای ذوب-تبلویر است [۲۷].



شکل ۲. موقعیت توده‌های نفوذی مورد مطالعه در نمودار نامگذاری [۲۰]

جدول ۱. نتایج ژئوشیمیایی عناصر اصلی، فرعی و نادر خاکی توده های نفوذی مناطق مورد مطالعه

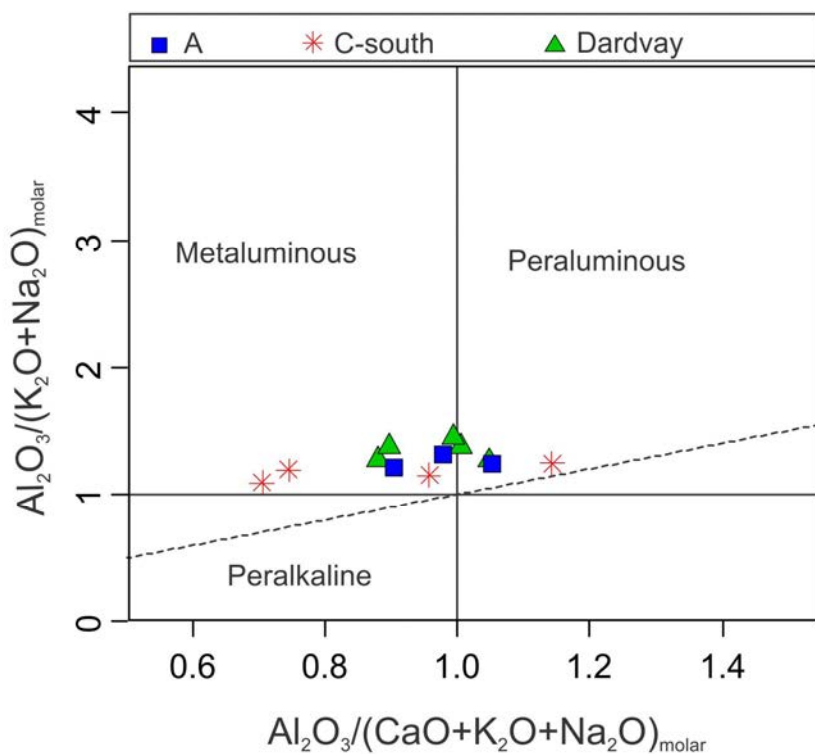
نام منطقه	A			C جنوی			
شماره نمونه	Saa180	Saak40	Saak38	Sacs109	Sacs173	Sacs116	Sacs62
شماره گمانه	Ak24	Ak20	Ak20	Csk16	Csk41	Csk15	Csk5
X	۲۶۳۷۳۴	۲۶۳۸۳۴	۲۶۳۸۳۴	۲۶۶۱۳۰	۲۶۶۳۷	۲۶۶۰۸۳	۲۶۵۴۳۲
Y	۳۸۱۸۳۷	۳۸۱۸۲۷	۳۸۱۸۲۷	۳۸۱۸۰۹۵	۳۸۱۷۹۹۱	۳۸۱۸۲۳۵	۳۸۱۸۲۱۰
نوع سنگ	۱	۱	۲	۱	۱	۱	۲
wt. %							
SiO <sub>2</sub>	۶۶	۶۵/۹	۶۲/۶۹	۶۸/۵۱	۶۶/۳۱	۶۱/۶۸	۷۲/۱۵
TiO <sub>2</sub>	۰/۰۳	۰/۰۵	۰/۰۴	۰/۰۱	۰/۰۶	۰/۰۲	۰/۰۲
Al <sub>2</sub> O <sub>3</sub>	۱۴/۰۲	۱۴/۴۴	۱۴/۰۸	۱۴/۰۸	۱۴	۱۴/۶۳	۱۴/۲۰
FeOt	۴/۷۵	۴/۹۳	۸/۰۷	۲/۴۹	۴/۸۶	۴/۰۱	۲/۴۱
MnO	۰/۰۴	۰/۰۵	۰/۰۶	۰/۰۲	۰/۰۵	۰/۰۵	n.d
MgO	۱/۸	۱/۰۹	۲	۱/۲۷	۱/۳۴	۱/۶۹	۱/۲۶
CaO	۲/۱۶	۲/۰۴	۱/۱۵	۱/۳۵	۳/۸۷	۴/۰۵	۰/۰۵
Na <sub>2</sub> O	۳/۵۸	۱/۶۹	۱/۴۸	۱/۱۲	۴/۰۸	۱/۹۳	۱/۴۳
K <sub>2</sub> O	۰/۰۹	۷/۶۴	۸/۰۰	۹/۸۳	۴/۶۸	۹/۴۵	۸/۳۸
P <sub>2</sub> O <sub>5</sub>	۰/۱۷	۰/۱۱	۰/۱۵	۰/۰۷	۰/۱۶	۰/۱۸	۰/۰۷
ppm							
Ba	۱۰۶۵	۱۴۳۲	۱۳۹۵	۲۰۹۶	۱۲۹۶	۱۴۳۸	۱۴۷۴
Co	۲	۳	۶	۱	۳	۶	۱۰
Cs	۳	۵	۷	۲	۱	۱	۱
Ga	۱۸	۱۷	۱۹	۱۵	۱۸	۱۶	۱۷
Hf	۷	۷	۸	۸	۷	۷	۷
Nb	۲۵	۲۶	۲۵	۲۶	۲۱	۲۲	۳۱
Rb	۲۰۷	۳۳۰	۳۹۳	۲۸۲	۱۴۰	۲۴۲	۲۲۴
Sr	۲۴۰	۱۸۷	۱۹۷	۶۷	۱۰۱	۸۰	۶۲
Ta	۲	۲	۲	۲	۲	۱	۲
Th	۲۴	۲۶	۲۴	۲۸	۲۱	۲۰	۲۹
V	۴۱	۳۱	۳۴	۲۸	۴۳	۴۰	۲۸
Zr	۳۰۵	۲۸۶	۳۵۸	۳۱۲	۳۰۱	۳۲۶	۳۰۸
Y	۲۹	۳۵	۲۶	۲۰	۲۶	۳۱	۱۰
La	۷۱/۶	۷۳/۶	۷۳/۶	۲۵/۱	۶۰	۴۱/۵	۱۸/۶
Ce	۱۲۷/۲	۱۳۱/۰	۱۳۴/۳	۴۷/۳	۱۱۵/۳	۸۱/۲	۳۲/۵
Pr	۱۳/۲۵	۱۳/۰۷	۱۳/۰۴	۴/۷۳	۱۱/۶۳	۸/۰۱	۳/۳۵
Nd	۴۴/۲	۴۳/۲	۴۴/۷	۱۷/۶	۴۰/۶	۳۲/۳	۱۲/۹
Sm	۷/۰۷	۷/۰۶	۷/۲۳	۲/۹۹	۶/۷۳	۵/۹۱	۲/۱۳
Eu	۱/۰۵	۱/۳۹	۱/۲۰	۰/۴۹	۰/۷۳	۰/۸۳	۰/۴۸
Gd	۶/۷۱	۵/۲۱	۵/۷۳	۲/۷۹	۵/۰۷	۵/۲۳	۲/۰۹
Tb	۰/۱۸۹	۰/۷۴	۰/۷۹	۰/۰۳۸	۰/۱۸۰	۰/۱۸۸	۰/۱۸
Dy	۴/۹۱	۴/۶۶	۳/۷۴	۲/۰۵۵	۴/۸۳	۵/۴۳	۱/۴۰
Ho	۱/۰۲	۰/۱۸۳	۰/۹۳	۰/۰۸	۰/۹۴	۱/۱۱	۰/۲۳
Er	۲/۱۸۴	۲/۱۸۰	۲/۱۸۶	۲/۰۷	۲/۸۳	۲/۱۲	۱/۰۳
Tm	۰/۰۲	۰/۳۸	۰/۰۴۳	۰/۰۳۱	۰/۰۴۱	۰/۰۴۲	۰/۱۶
Yb	۳/۰۸	۲/۷۴	۲/۰۴۴	۲/۰۹۹	۳/۰۲۲	۲/۹۷	۱/۲۶
Lu	۰/۰۸	۰/۰۴۲	۰/۰۴۵	۰/۰۳۴	۰/۰۴۱	۰/۰۴۰	۰/۱۹
Ratios							
K <sub>2</sub> O/Na <sub>2</sub> O	۱/۴۸	۴/۰۲	۵/۰۴	۸/۶	۱/۱۵	۴/۹	۵/۱۸
(La/Yb) <sub>N</sub>	۱۵/۶۷	۱۸/۱۱	۲۰/۰۳۴	۶/۲۹	۱۱/۰۸۳	۹/۴۲	۹/۹۵
Eu/Eu*	۰/۰۶	۰/۰۷	۰/۰۷	۰/۰۵۲	۰/۰۳۶	۰/۰۴۶	۰/۰۷۰

۱- بیوتبیت هورنبلند مونزونیت پورفیری، ۲- بیوتبیت کوارتز سینیت و ۳- سینوگرانیت

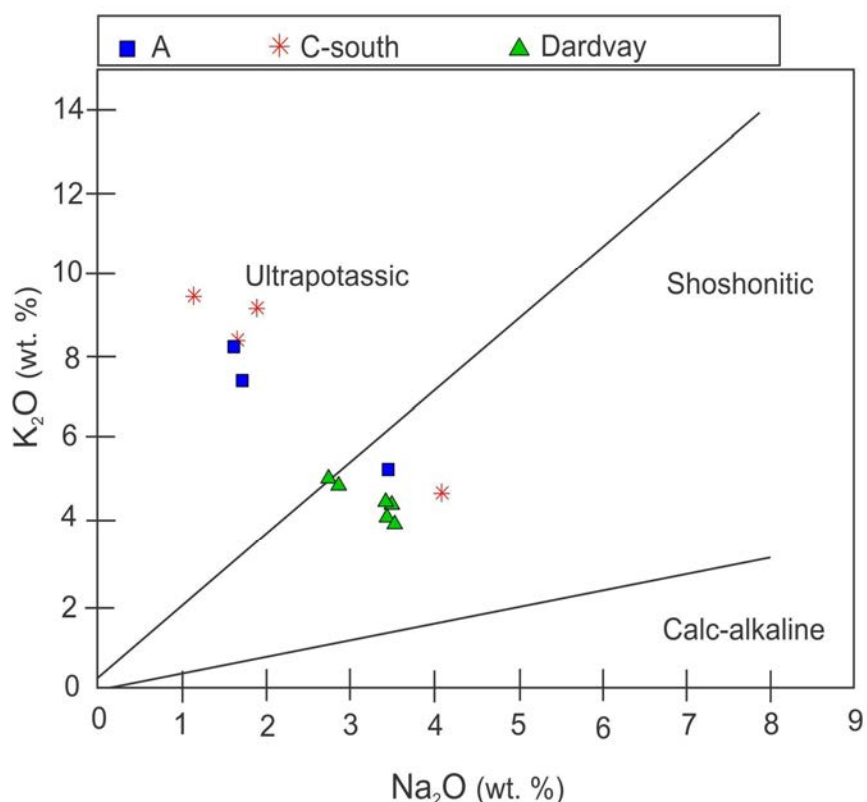
ادامه جدول ۱: نتایج ژئوشیمیایی عناصر اصلی، فرعی و نادر خاکی توده‌های نفوذی مناطق مورد مطالعه

نام منطقه	دردبو					
شماره نمونه	Sad93	Sad20	Sad23	Sad92	Sad24	Sad22
شماره گمانه	D157	-	-	D157	-	-
X	۲۶۷۵۸۴	۲۶۷۸۳۳	۲۶۶۹۸۹	۲۶۷۵۸۴	۲۶۶۹۸۹	۲۶۷۸۴۴
Y	۳۸۱۹۴۲۶	۳۸۱۸۶۶۳	۳۸۱۹۱۵۷	۳۸۱۹۴۲۶	۳۸۱۹۱۵۸	۳۸۱۸۷۱۱
نوع سنگ	۳	۳	۱	۳	۱	۳
wt. %						
SiO <sub>2</sub>	۷۱/۰۶	۶۸/۷۲	۶۶/۰۹	۷۲/۹۲	۶۶/۶۲	۶۸/۱۶
TiO <sub>2</sub>	۰/۱۹	۰/۳۴	۰/۰۶	۰/۱۶	۰/۰۸	۰/۴۱
Al <sub>2</sub> O <sub>3</sub>	۱۲/۰۳	۱۴/۸۱	۱۴/۰۹	۱۲/۸۹	۱۴/۱۳	۱۳/۰۷
FeOt	۳/۲۲	۲/۳۵	۴/۰۷	۱/۱۵	۵/۰۵	۳/۱۱
MnO	۰/۰۱	۰/۰۱	۰/۰۳	۰/۰۱	۰/۰۳	۰/۰۳
MgO	۱/۴۴	۱/۷۷	۱/۹۳	۱/۱۹	۲/۱۹	۱/۶۳
CaO	۱/۹۴	۲/۱۸	۲/۰۴	۱/۱۵	۳/۰۳	۲/۶۲
Na <sub>2</sub> O	۲/۹۰	۳/۰۲	۳/۰۳	۲/۷۷	۳/۰۷	۳/۰۸
K <sub>2</sub> O	۴/۷۵	۴/۶۰	۴/۱۰	۵/۰۲	۴/۰۶	۴/۰۹
P <sub>2</sub> O <sub>5</sub>	۰/۰۵	۰/۱۲	۰/۰۷	۰/۰۳	۰/۱۲	۰/۱۴
ppm						
Ba	۳۵۷	۸۲۴	۷۵۵	۲۸۸	۸۰۲	۸۴۵
Co	۱	۲	۶	۱	۱۰	۳
Cs	۶	۲	۲	۳	۴	۲
Ga	۱۶	۱۸	۱۸	۱۵	۱۸	۱۷
Hf	۴	۶	۷	۵	۷	۷
Nb	۲۱	۲۳	۲۱	۱۶	۲۱	۲۳
Rb	۲۳۷	۱۴۵	۱۳۹	۱۹۹	۱۳۷	۱۶۱
Sr	۱۰۵	۳۸۹	۳۱۳	۹۹	۳۸۴	۳۵۰
Ta	۲	۲	۱	۱	۲	۲
Th	۴۱	۴۰	۲۱	۴۴	۱۹	۳۹
V	۱۱	۳۱	۵۱	۱۱	۶۱	۳۷
Zr	۱۲۳	۲۰۶	۲۶۱	۱۰۶	۲۷۵	۲۲۴
Y	۸	۱۹	۲۴	۸	۲۵	۲۲
La	۵۸/۴	۵۶/۳	۵۳/۷	۵۴/۶	۳۹/۹	۶۸/۲
Ce	۷۴/۲	۱۰۶/۵	۱۰۲/۳	۶۴/۵	۸۶	۱۲۵/۶
Pr	۵/۶۲	۱۱/۱	۱۱/۱۵	۴/۱۶	۱۰/۰۳	۱۲/۳۳
Nd	۱۶	۳۴/۷	۳۶	۱۳/۷	۳۶/۸	۳۷/۷
Sm	۲/۱۹	۵/۲۶	۶/۳۲	۱/۰۷	۶/۳۹	۵/۸۸
Eu	۰/۳۴	۱/۰۸	۱/۳۵	۰/۰۷	۱/۴۸	۱/۱۸
Gd	۱/۶۶	۴/۰۸	۵/۴۵	۱/۲۱	۵/۰۹	۴/۸۸
Tb	۰/۲۲	۰/۶	۰/۷۸	۰/۰۷	۰/۷۷	۰/۶۸
Dy	۱/۴	۳/۰۹	۴/۴	۰/۰۷	۴/۴۲	۲/۰۶
Ho	۰/۰۹	۰/۰۶	۰/۰۱	۰/۰۳	۰/۰۴	۰/۰۴
Er	۰/۰۱	۲/۰۱	۲/۶۶	۰/۰۶	۲/۶۶	۲/۰۷
Tm	۰/۰۳	۰/۰۳	۰/۰۱	۰/۰۵	۰/۰۸	۰/۰۷
Yb	۱/۳	۲/۲	۲/۳	۱/۰۶	۲/۳۲	۲/۰۱
Lu	۰/۰۴	۰/۰۳	۰/۰۴	۰/۰۲	۰/۰۶	۰/۰۸
Ratios						
K <sub>2</sub> O/Na <sub>2</sub> O	۱/۶۴	۱/۳	۱/۲	۱/۹	۱/۱۴	۱/۳۲
(La/Yb) <sub>N</sub>	۳۰/۱۹	۱۷/۲۵	۱۵/۰۷	۳۴/۷۳	۱۱/۰۹	۲۰/۰۸
Eu/Eu*	۰/۰۵	۰/۰۱	۰/۰۷	۰/۰۶	۰/۰۷	۰/۰۷

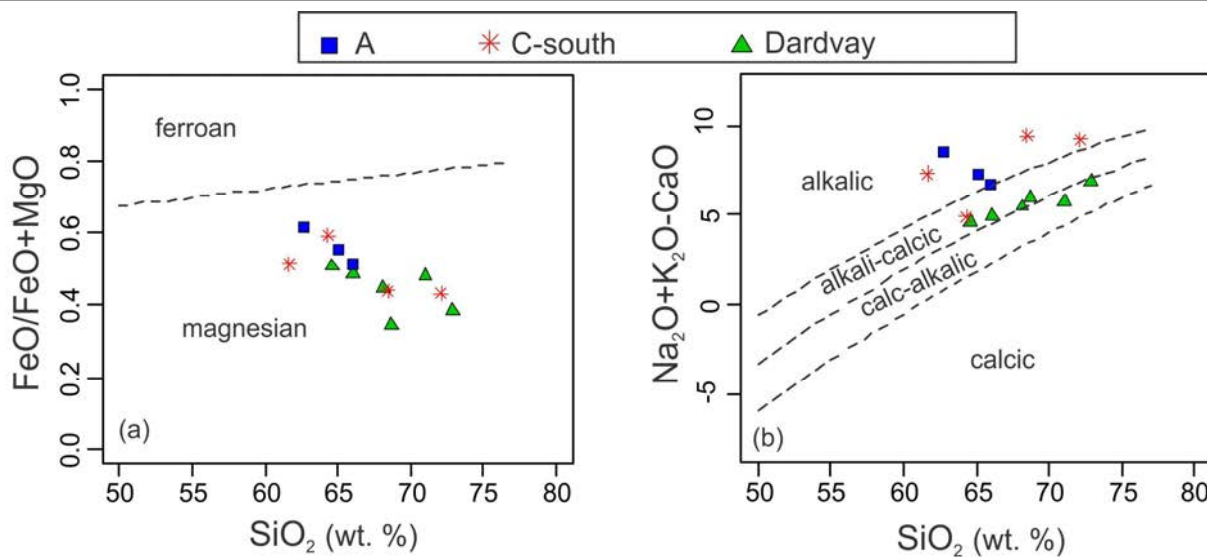
۱- بیوپیت هورنبلند مونزونیت پورفیری، ۲- بیوپیت کوارتز سینیت و ۳- سینوگرانیت



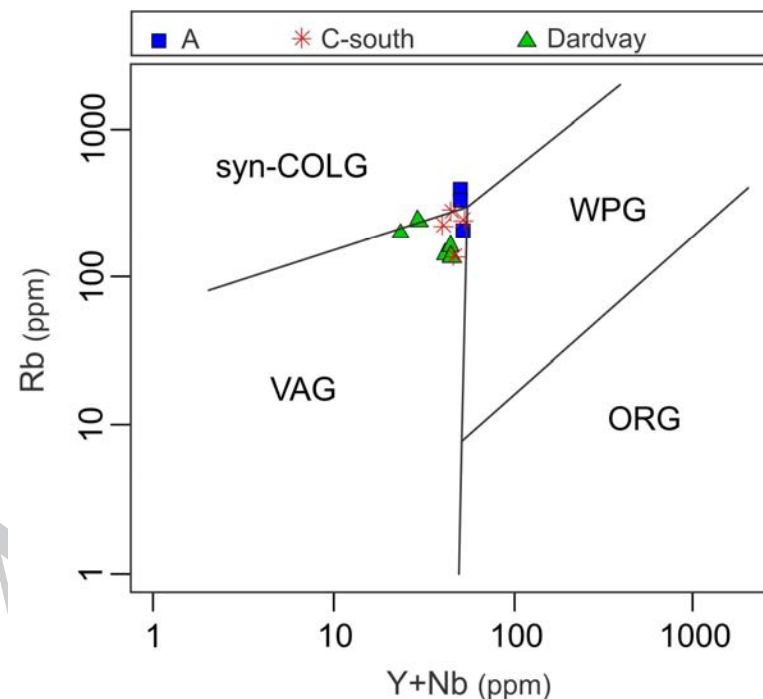
شکل ۳. موقعیت توده های نفوذی مورد مطالعه در نمودار A/NK – A/CNK اقتباس از [۲۱].



شکل ۴. موقعیت توده های نفوذی مورد مطالعه در نمودار اکسید پتاسیم در مقابل اکسید سدیم [۲۳]



شکل ۵. موقعیت توده‌های نفوذی مورد مطالعه در نمودارهای [۲۴]



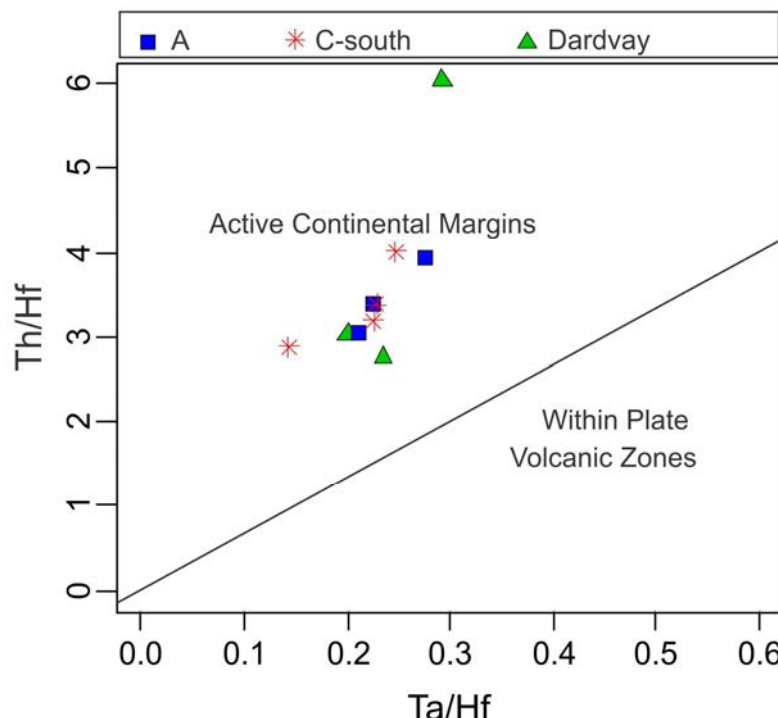
شکل ۶. موقعیت توده‌های نفوذی مناطق مورد مطالعه در نمودار [۲۵]. VAG = گرانیتوئیدهای قوس آتشفشاری، syn-COLG = گرانیتوئیدهای همزمان با تصادم قاره‌ها درون صفحه‌ای، WPG = گرانیتوئیدهای پشتۀ میان اقیانوسی، ORG = گرانیتوئیدهای مغناطیسی

از آن است [۴۰]. شکل ۱۰ مقدار  $\text{Rb/Sr}$  توده‌های نفوذی مناطق مورد مطالعه را در مقابل پذیرفتاری مغناطیسی آنها نشان می‌دهد. مقدار پذیرفتاری مغناطیسی توده‌های نفوذی بین  $900 \times 10^{-5}$  تا  $310 \times 10^{-5}$   $\text{SI}$  متغیر بوده و متعلق به گرانیتوئیدهای سری مگنتیت و اکسیدان هستند (شکل ۱۰). مقدار  $\text{Rb/Sr}$  نیز از حدود  $4/5$  تا  $1/3$  متغیر است. مقدار بالای

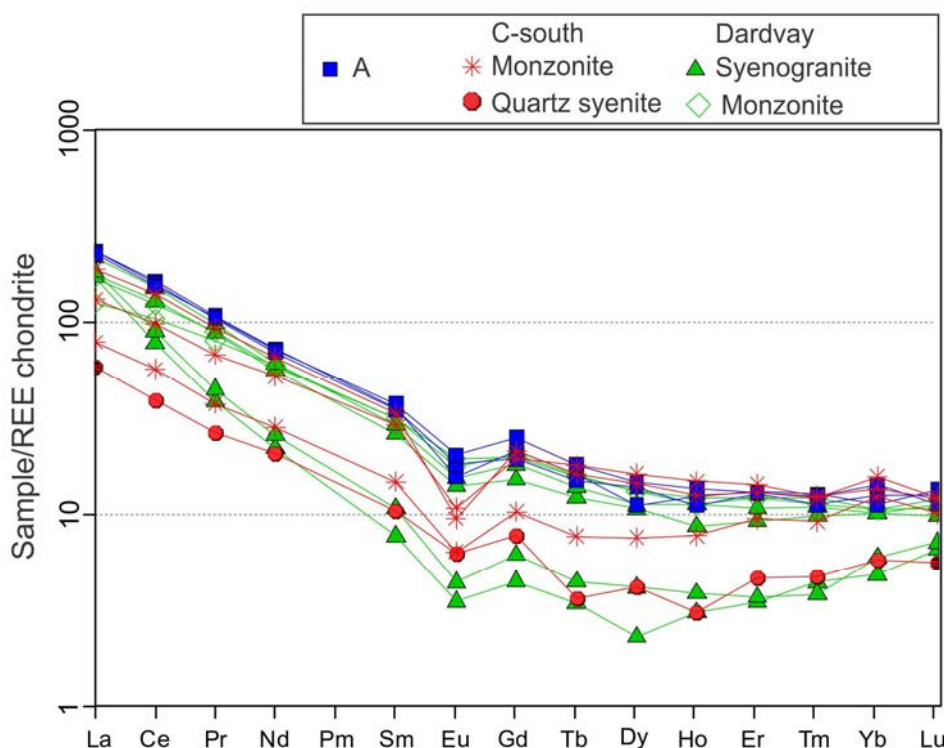
پذیرفتاری مغناطیسی ایشی‌هارا [۴۰] گرانیتوئیدها را به دو سری مگنتیت و ایلمینیت تقسیم کرده که سری مگنتیت عمدهاً با گرانیتوئیدهای نوع I و سری ایلمینیت با گرانیتوئیدهای تیپ S هم‌پوشانی دارد. عدد پذیرفتاری مغناطیسی گرانیتوئیدهای سری مگنتیت بیشتر از  $300 \times 10^{-5}$  و سری ایلمینیت کمتر

در توده‌های نفوذی منطقه C جنوبی از بقیه بیشتر است  
مقدار عنصر پتاسیم در توده‌هاست که در اثر آسودگی مagma با  
پوسته قاره‌ای حاصل شده است. مقدادر بالای نسبت Rb/Sr

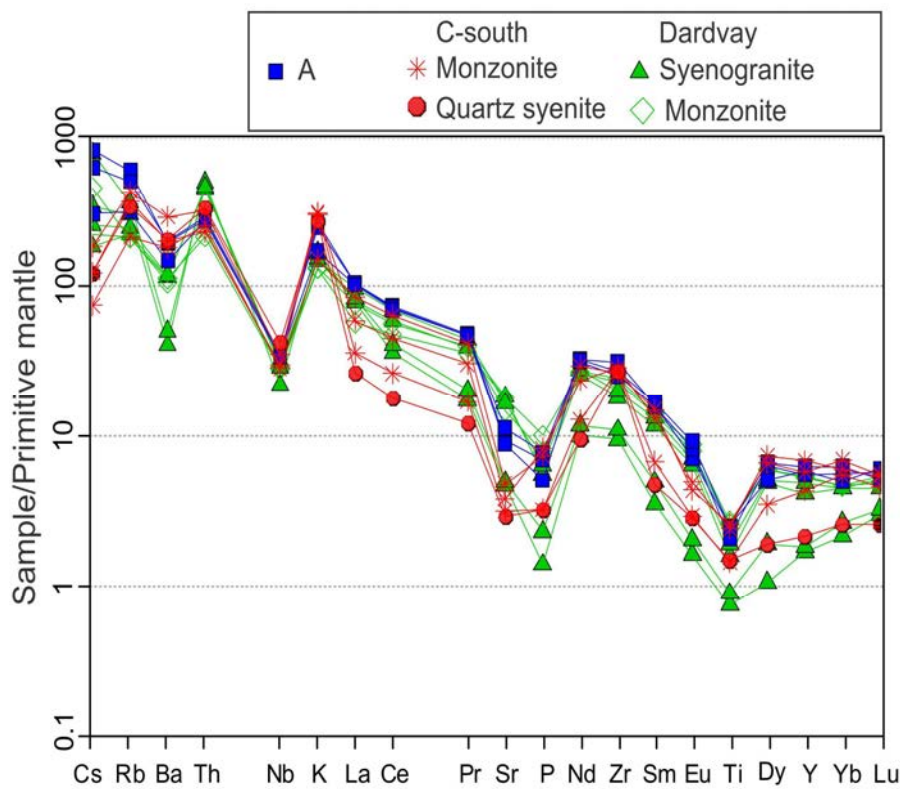
این نسبت و در نتیجه مقدار بالای Rb ناشی از بالا بودن  
مقدار عنصر پتاسیم در توده‌هاست که در اثر آسودگی magma با  
Rb/Sr



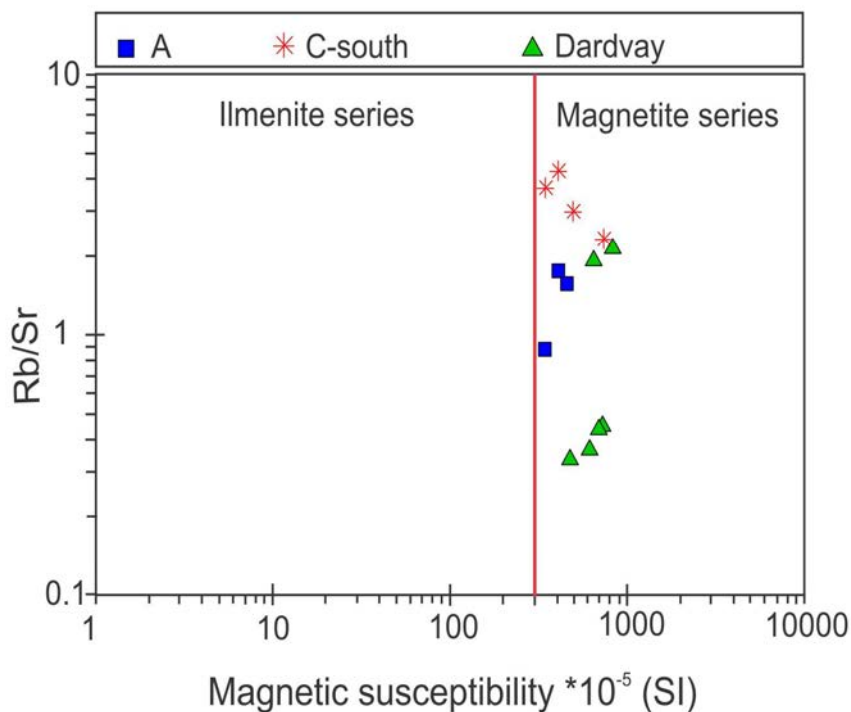
شکل ۷. موقعیت توده‌های نفوذی مناطق مورد مطالعه در نمودار [۲۶].



شکل ۸. نرمالیزه کردن عناصر نادر خاکی نسبت به کندریت در توده‌های نفوذی مناطق مورد مطالعه (مقادیر کندریت از [۲۸])



شکل ۹. نمودار نرمالیزه شده برخی عناصر فرعی و نادر خاکی توده های نفوذی مناطق مورد مطالعه نسبت به گوشته اولیه (مقادیر گوشته اولیه از [۳۹]).



شکل ۱۰. نمودار مقدار  $Rb/Sr$  در مقابل پذیرفتاری مغناطیسی برای تفکیک گرانیت‌وئیدهای سری مگنتیت و ایلمنیت در توده های نفوذی مناطق A، C جنوبی و دردوانی

۱۱ و ۱۲). از طرفی نسبت U/Th در زیرکن، یک وسیله مناسب برای تعیین پتروژئنر است، زیرا به طور معمول در زیرکن های دگرگونی نسبت U/Th بیش از ۵ تا ۱۰ و در زیرکن های آذرین کمتر از ۵ می باشد [۴۱ تا ۴۳]. این نسبت در زیرکن های مطالعه شده کمتر از ۲/۵ بوده که نشان دهنده ماهیت ماقماتیکی زیرکن هاست. این ویژگی همراه با خصوصیت حرارت خاتمه بالای زیرکن [۴۴] به ماجازه می دهد تا اطلاعات U-Pb به دست آمده را نماینده سن تبلور توده آذرین بدانیم. این توده های مومنزونیتی در اتوسین میانی (لوتین) در منطقه نفوذ کرده اند.

### سن سنجی U-Pb زیرکن

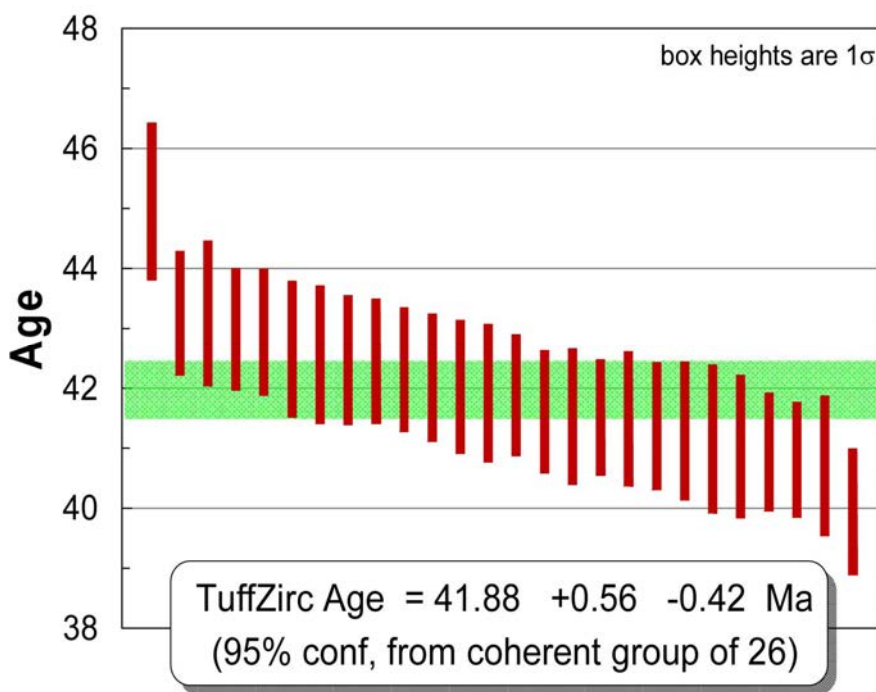
بعد از مطالعات دقیق پتروگرافی، دو نمونه مناسب از لحاظ داشتن کانی زیرکن از توده های نفوذی مومنزونیتی و گرانیتی که فراوانتر از توده سینیتی در مناطق مورد مطالعه هستند، از آنومالیهای A و دردی برای سن سنجی انتخاب شد. نتایج آنالیز سن سنجی U-Th-Pb در کانی زیرکن در جدولهای (۲) و (۳) آمده است. همچنین نمودار میانگین سن تعیین شده آنها در شکلهای ۱۱ و ۱۲ نشان داده شده است. بر پایه حدود ۲۵ نقطه آنالیز روی دانه های زیرکن، سن توده مومنزونیتی منطقه A برابر با  $41/9 \pm 0/6$  میلیون سال و نمونه گرانیتی منطقه دردی برابر با  $42 \pm 0/6$  میلیون سال به دست آمد (شکلهای

جدول ۲. نتایج آنالیز سن سنجی نمونه مومنزونیتی Saak40 از منطقه A

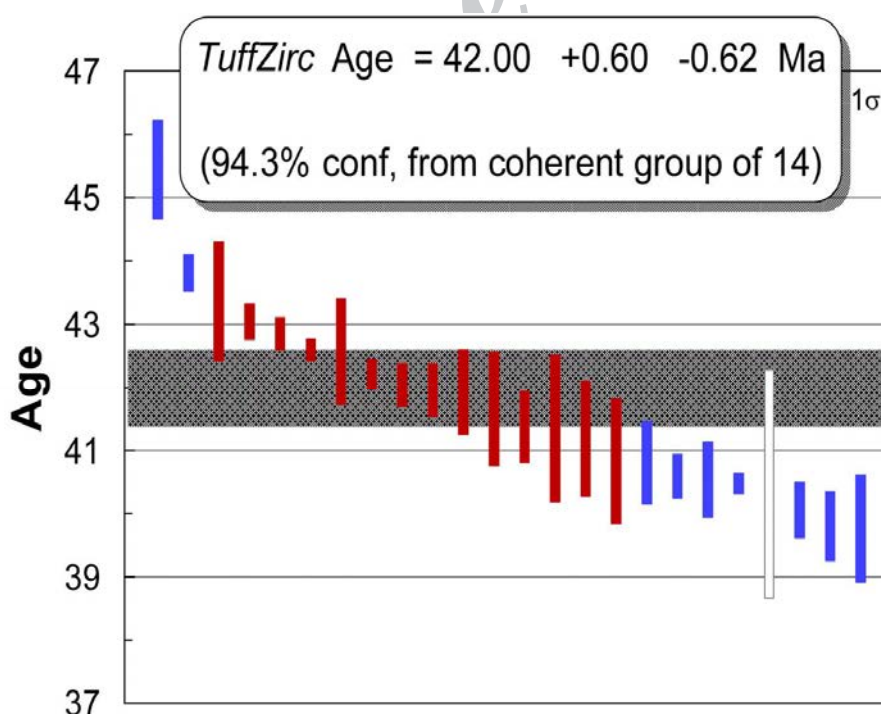
Sample No.	U (ppm)	$^{206}\text{Pb}/^{204}\text{Pb}$	U/Th	$^{206}\text{Pb}^*/^{207}\text{Pb}^*$	$\pm$ (%)	$^{207}\text{Pb}^*/^{235}\text{U}^*$	$\pm$ (%)	$^{206}\text{Pb}^*/^{238}\text{U}$	$\pm$ (%)	Best Age (Ma)	$\pm$ (Ma)
17	۱۶۶	۴۱۴۷	۱/۱	۲۲/۱۱۳۲	۱/۴	۰/۰۳۸۷	۳/۰	۰/۰۰۶۲	۲/۶	۴۹/۹	۱/۱
16	۱۵۸	۴۹۸۹	۰/۸	۲۱/۴۶۱۰	۱/۴	۰/۰۴۰۷	۳/۲	۰/۰۰۶۳	۲/۹	۴۰/۷	۱/۲
4	۱۲۱	۴۷۷۹	۰/۸	۲۱/۱۶۶۰	۱/۷	۰/۰۴۱۳	۲/۹	۰/۰۰۶۳	۲/۴	۴۰/۸	۱/۰
3	۸۳	۱۷۱۶	۰/۶	۲۲/۰۶۳۴	۱/۸	۰/۰۳۹۸	۳/۰	۰/۰۰۶۴	۲/۴	۴۰/۹	۱/۰
8	۱۲۲	۴۲۸۴	۰/۹	۲۱/۱۹۹۰	۱/۵	۰/۰۴۱۵	۳/۳	۰/۰۰۶۴	۲/۹	۴۱/۰	۱/۲
20	۳۸	۱۰۷۶	۰/۸	۲۴/۳۸۸۴	۴/۷	۰/۰۳۶۲	۵/۶	۰/۰۰۶۴	۳/۰	۴۱/۱	۱/۲
13	۱۵۶	۴۵۸۸	۰/۸	۲۱/۳۹۴۳	۱/۸	۰/۰۴۱۴	۳/۳	۰/۰۰۶۴	۲/۸	۴۱/۳	۱/۱
5	۱۴۷	۴۴۶۹	۰/۶	۲۱/۶۲۵۹	۱/۷	۰/۰۴۱۰	۳/۱	۰/۰۰۶۴	۲/۶	۴۱/۳	۱/۱
14	۱۷۰	۳۷۶۷۶	۰/۷	۲۱/۹۹۰۹	۱/۰	۰/۰۴۲۴	۲/۹	۰/۰۰۶۵	۲/۷	۴۱/۵	۱/۱
19	۴۹۸	۱۰۴۰۴	۱/۱	۲۱/۸۲۲۸	۰/۷	۰/۰۴۱۲	۲/۴	۰/۰۰۶۵	۲/۳	۴۱/۵	۱/۰
7	۵۳	۲۹۰۹	۰/۸	۱۹/۶۳۷۹	۲/۴	۰/۰۴۵۴	۳/۶	۰/۰۰۶۵	۲/۷	۴۱/۵	۱/۱
10	۱۲۰	۹۴۸۷	۱/۱	۲۰/۴۲۸۹	۱/۳	۰/۰۴۳۷	۲/۸	۰/۰۰۶۵	۲/۵	۴۱/۶	۱/۰
15	۷۲۰	۴۷۴۳۵	۰/۶	۲۱/۱۹۰۳	۰/۵	۰/۰۴۲۴	۲/۵	۰/۰۰۶۵	۲/۴	۴۱/۹	۱/۰
2	۸۳	۲۲۳۶	۰/۸	۲۱/۶۸۰۸	۲/۱	۰/۰۴۱۵	۳/۵	۰/۰۰۶۵	۲/۸	۴۱/۹	۱/۱
21	۳۱۶	۱۳۰۵۸	۰/۶	۲۱/۰۸۷۹	۰/۸	۰/۰۴۱۸	۲/۸	۰/۰۰۶۵	۲/۷	۴۲/۰	۱/۱
12	۱۴۰	۱۵۲۸۷	۰/۷	۲۰/۰۵۲۷	۱/۱	۰/۰۴۴۱	۲/۸	۰/۰۰۶۶	۲/۵	۴۲/۲	۱/۱
11	۱۶۸	۶۹۲۵	۰/۶	۲۱/۳۹۵۲	۱/۱	۰/۰۴۲۴	۲/۷	۰/۰۰۶۶	۲/۵	۴۲/۳	۱/۰
1	۹۱	۲۷۱۵	۰/۶	۲۱/۹۱۴۴	۲/۲	۰/۰۴۱۶	۳/۳	۰/۰۰۶۶	۲/۵	۴۲/۴	۱/۰
18	۱۴۴	۵۴۶۵	۱/۱	۲۱/۶۳۴۹	۱/۴	۰/۰۴۲۱	۲/۹	۰/۰۰۶۶	۲/۶	۴۲/۵	۱/۱
9	۷۴۲	۲۱۵۳۷	۰/۸	۲۱/۰۹۸۸	۰/۵	۰/۰۴۲۳	۲/۸	۰/۰۰۶۶	۲/۷	۴۲/۵	۱/۲
23	۱۰۳	۳۱۳۵	۰/۹	۲۱/۰۵۲۸۹	۱/۶	۰/۰۴۲۵	۳/۱	۰/۰۰۶۶	۲/۷	۴۲/۶	۱/۱
24	۲۳۷	۱۶۵۰۰	۰/۵	۱۹/۲۷۵۴	۱/۶	۰/۰۴۷۸	۲/۹	۰/۰۰۶۷	۲/۵	۴۲/۹	۱/۱
22	۸۸۸	۴۶۴۵۳	۰/۷	۲۱/۴۵۲۰	۰/۵	۰/۰۴۳۰	۲/۴	۰/۰۰۶۷	۲/۴	۴۳/۰	۱/۰
6	۱۴۳	۶۵۲۱	۰/۵	۲۰/۲۸۲۲	۱/۶	۰/۰۴۵۷	۳/۲	۰/۰۰۶۷	۲/۸	۴۳/۲	۱/۲
25	۲۳۱	۱۴۱۴۱	۰/۴	۲۱/۲۱۹۶	۰/۹	۰/۰۴۳۷	۲/۶	۰/۰۰۶۷	۲/۴	۴۳/۲	۱/۰
26	۳۰	۱۴۹۲	۰/۷	۲۱/۲۴۲۲	۴/۸	۰/۰۴۵۶	۵/۶	۰/۰۰۷۰	۲/۹	۴۵/۱	۱/۳

**جدول ۳. نتایج آنالیز سنجی نمونه گاریتی Sad20 از منطقه دردی**

Sample No.	U (ppm)	$^{206}\text{Pb}/^{204}\text{Pb}$	U/Th	$^{206}\text{Pb}^*/^{207}\text{Pb}^*$	$\pm(\%)$	$^{207}\text{Pb}^*/^{235}\text{U}^*$	$\pm(\%)$	$^{206}\text{Pb}^*/^{238}\text{U}$	$\pm(\%)$	Best Age (Ma)	$\pm(\text{Ma})$
SAD20-9	۸۱۱	۲۵۲۴۳	۱/۱	۲۱/۰۸۱۰	۱/۲	۰/۰۴۰۵	۲/۵	۰/۰۰۶۲	۲/۱	۴۹/۷	۰/۸
SAD20-11	۸۷۹	۲۵۹۶۸	۱/۹	۲۱/۱۳۸۱	۰/۷	۰/۰۴۰۴	۱/۶	۰/۰۰۶۲	۱/۴	۴۹/۸	۰/۵
SAD20-15	۳۹۶	۱۰۹۲۸	۰/۶	۲۱/۱۱۹۲	۱/۵	۰/۰۴۰۷	۱/۹	۰/۰۰۶۲	۱/۱	۴۰/۰	۰/۴
SAD20-8	۵۸۳	۸۲۰۹	۰/۹	۱۹/۷۳۴۱	۷/۳	۰/۰۴۴۰	۸/۶	۰/۰۰۶۳	۴/۵	۴۰/۵	۱/۸
SAD20-16_2	۴۱۲	۱۴۳۹۵	۰/۹	۲۱/۰۹۸	۱/۲	۰/۰۴۱۲	۱/۲	۰/۰۰۶۳	۰/۴	۴۰/۵	۰/۲
SAD20-16_1	۶۵۱	۲۰۷۴۸	۰/۹	۲۱/۲۶۲۹	۱/۴	۰/۰۴۰۹	۲/۱	۰/۰۰۶۳	۱/۵	۴۰/۵	۰/۶
SAD20-1	۵۶۸	۸۷۰۹	۱/۴	۲۰/۴۹۰۱	۳/۱	۰/۰۴۲۵	۳/۲	۰/۰۰۶۳	۰/۹	۴۰/۶	۰/۳
SAD20-8_1	۵۵۰	۱۱۶۸۲	۱/۰	۲۱/۱۹۶۲	۱/۲	۰/۰۴۱۳	۲/۰	۰/۰۰۶۳	۱/۶	۴۰/۸	۰/۷
SAD20-7	۲۶۱	۸۲۲۴	۱/۰	۲۱/۴۱۰۳	۱/۴	۰/۰۴۰۹	۲/۸	۰/۰۰۶۴	۲/۴	۴۰/۸	۱/۰
SAD20-13	۶۲۱	۱۰۸۸۱	۲/۰	۲۱/۱۸۴۴	۱/۰	۰/۰۴۱۷	۲/۴	۰/۰۰۶۴	۲/۲	۴۱/۲	۰/۹
SAD20-6_1	۱۲۳۰	۲۱۰۶۲	۱/۰	۲۱/۰۸۳۱	۰/۸	۰/۰۴۲۱	۲/۹	۰/۰۰۶۴	۲/۸	۴۱/۴	۱/۲
SAD20-15_1	۳۲۸	۱۴۹۴۷	۰/۵	۲۰/۹۷۰۸	۲/۹	۰/۰۴۲۳	۳/۲	۰/۰۰۶۴	۱/۴	۴۱/۴	۰/۶
SAD20-17	۱۲۳۲	۲۸۸۶۹	۱/۰	۲۱/۲۲۱۸	۱/۱	۰/۰۴۲۱	۲/۴	۰/۰۰۶۵	۲/۲	۴۱/۷	۰/۹
SAD20-5	۴۳۲	۱۹۸۹۹	۲/۳	۲۰/۸۸۲۳	۱/۴	۰/۰۴۳۱	۲/۱	۰/۰۰۶۵	۱/۶	۴۱/۹	۰/۷
SAD20-2	۱۷۹۵	۱۷۴۸	۰/۸	۱۱/۶۴۸۸	۱۵/۱	۰/۰۷۷۲	۱۵/۳	۰/۰۰۶۵	۲/۳	۴۱/۹	۱/۰
SAD20-12	۳۲۴	۲۵۷۶۴	۱/۱	۲۰/۰۸۶۵	۱/۸	۰/۰۴۳۷	۲/۰	۰/۰۰۶۵	۱/۰	۴۲/۰	۰/۴
SAD20-17_1	۴۱۸	۹۳۰۰	۱/۱	۲۱/۰۷۴۲	۱/۴	۰/۰۴۱۸	۱/۷	۰/۰۰۶۵	۰/۸	۴۲/۰	۰/۳
SAD20-6	۴۶۷	۹۵۵۹	۱/۰	۲۱/۳۵۲۷	۱/۲	۰/۰۴۲۴	۱/۳	۰/۰۰۶۶	۰/۶	۴۲/۲	۰/۲
SAD20-10	۶۱۹	۱۴۷۶۶	۱/۰	۲۱/۱۶۹۲	۱/۷	۰/۰۴۳۲	۲/۶	۰/۰۰۶۶	۲/۰	۴۲/۶	۰/۸
SAD20-9_1	۸۱۶	۲۸۸۲۳۵	۰/۸	۲۱/۲۱۱۲	۰/۹	۰/۰۴۳۱	۱/۰	۰/۰۰۶۶	۰/۴	۴۲/۶	۰/۲
SAD20-16	۶۸۹	۱۸۹۹۰	۰/۹	۲۱/۳۸۶۴	۱/۸	۰/۰۴۳۰	۱/۹	۰/۰۰۶۷	۰/۶	۴۲/۸	۰/۳
SAD20-7_1	۱۹۲	۵۴۳۵	۱/۱	۲۰/۰۷۵۵۴	۱/۹	۰/۰۴۴۵	۲/۰	۰/۰۰۶۷	۰/۶	۴۳/۰	۰/۳
SAD20-16_3	۲۵۱	۸۶۵۸	۱/۷	۲۱/۰۰۶۷	۳/۰	۰/۰۴۴۳	۳/۷	۰/۰۰۶۷	۲/۲	۴۳/۴	۰/۹
SAD20-4	۱۱۳۹	۵۴۰۰۳	۰/۹	۲۰/۶۸۳۷	۱/۲	۰/۰۴۵۵	۱/۳	۰/۰۰۶۸	۰/۶	۴۳/۸	۰/۳
SAD20-14	۱۰۱۳	۴۳۷۹۷	۱/۱	۲۱/۲۲۰۱	۰/۹	۰/۰۴۶۰	۱/۹	۰/۰۰۷۱	۱/۷	۴۵/۵	۰/۸



شکل ۱۱. میانگین سن تعیین شده از اطلاعات ایزوتوپی U-Pb برای نمونه Saak40 از منطقه A



شکل ۱۲. میانگین سن تعیین شده از اطلاعات ایزوتوپی U-Pb برای نمونه Sad20 از منطقه دردوانی

کاهش نشان می‌دهند [۴۵]. بنابراین مذابهایی که از ذوب‌بخشی اسپینل لرزولیت حاصل می‌شوند، دارای روند ذوب‌بخشی مشابه روند گوشه‌ای یا Mantle array (خطی که از DM و PM عبور می‌نماید- شکل ۱۳) هستند. از طرف دیگر مذابهایی که از ذوب کم تا متوسط گارنت لرزولیت‌ها ایجاد می‌شوند، دارای نسبت Sm/Yb بسیار بالاتر از این نسبت در منشأ گوشه‌ای خود هستند. نمونه‌های مورد مطالعه عمده‌تاً در بین خطوط مربوط به اسپینل لرزولیت و اسپینل- گارنت لرزولیت قرار می‌گیرند (شکل ۱۳). این مسئله نشان می‌دهد که منشأ آنها یک گارنت- اسپینل لرزولیت بوده که مقدار اسپینل بیش از گارنت بوده است. همچنین درجه ذوب بخشی کمتر از ۱ است (شکل ۱۳). وجود اندک گارنت به عنوان کانی باقی‌مانده در منشأ این توده‌ها با نسبت پایین  $\text{La/Yb}$  (۲/۲۹ تا ۳/۷۳) توجیه‌پذیر است.

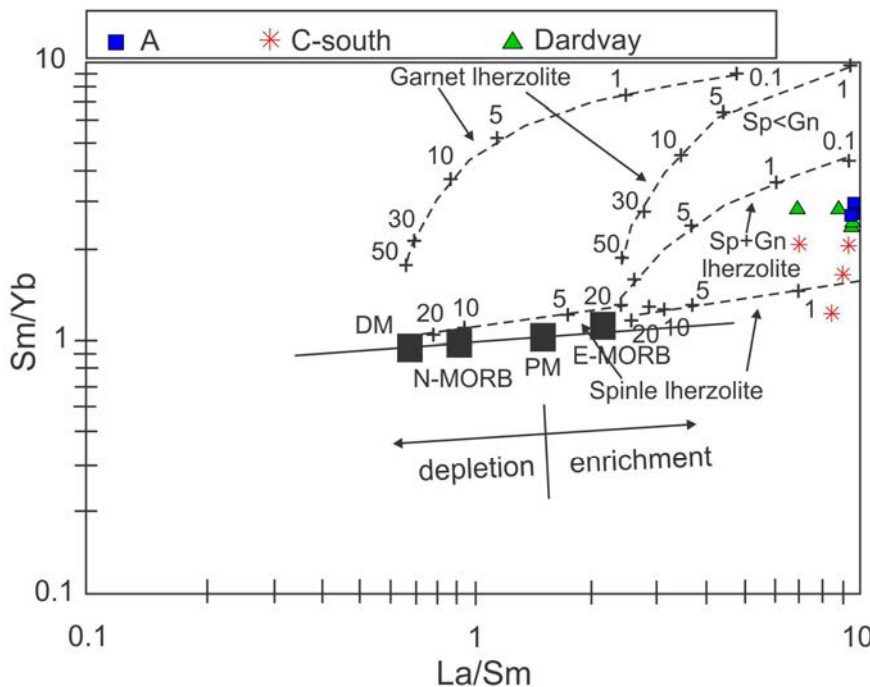
ماهیت غنی از پتاسیم توده‌های نفوذی نیز از دیگر مسائل قابل توجه است. پتاسیم بالا در مagmaهای کالک آلکالن تشکیل شده در زون فروزانش نیز می‌تواند به دلایل زیر اتفاق بیفتند [۴۶-۵۳]: ۱- ذوب‌بخشی گوشه‌های غنی شده، ۲- آزاد شدن سیالات آبدار حاصل از رسوبات فروزانه به داخل گوشه، واکنش بین سیال (یا مذاب) با پریدوتیت گوشه یک فلوگوپیت پیروکسنیت تولید می‌کند که فقری از اولیوین است. ذوب این گوشه هیبرید شده می‌تواند یک مذاب غنی از پتاسیم را تولید کند، ۳- مخلوط‌شدگی magma و آلودگی پوسته‌ای، ۴- هضم‌شدگی پوسته تحتانی در زون MASH و یا زون‌های داغ (Hot zone). اطلاعات عنصر فرعی و نادرخاکی بدون داشتن ایزوتوپ‌های رادیوزنیک، نمی‌تواند نقش ناحیه منشأ و یا آلودگی پوسته‌ای را در بالابودن مقدار پتاسیم magma از یکدیگر تفکیک کند. اما شکی نیست که مقداری از این غنی‌شدگی در magma توده‌های مورد مطالعه مربوط به آلودگی پوسته است. بالا آمدن magma از میان پوسته قاره‌ای ضخیم به آلودگی پوسته‌ای در اثر هضم‌شدگی و فرآیند تبلور‌بخشی و افزایش مقدار نسبت Rb/Sr و LILE/HFSE و مقدار O و K<sub>2</sub>O و Th می‌نجامد [۵۴]. بالابودن مقدار Nb (۱۶ تا ۲۶ گرم در تن) در توده‌های مورد مطالعه نقش اختلاط پوسته قاره‌ای را در magma روشنتر می‌کند.

### بحث و نتیجه‌گیری

براساس روابط قطع شدگی صحرایی و عدم حضور گارت اسکارن و مگنتیت در مجاورت توده‌های نفوذی مورد مطالعه و آلتراشدن آنها توسط محلول کانه‌دار بعدی، این واحدهای سنگی قبل از تشکیل کانی‌سازی در منطقه نفوذ نموده‌اند. سن‌سنجدی زیرکن به روش U-Pb نیز با نشان دادن سن ۴۲ میلیون سال قبل (اوسن میانی) این امر را تأیید می‌کند، زیرا که سن توده‌های مرتبط با کانی‌سازی در معده سنگان ۳۹ میلیون سال به دست آمده است [۱۶]، هرچند که اختلاف سنی اندکی (حدود ۳ میلیون سال) بین این توده‌های نفوذی وجود دارد.

غنی‌شدگی نسبی عناصر LREE در الگوی HFSE در نرم‌الگوی شده به کندریت و غنی‌شدگی عناصر LILE نسبت به HFSE در الگوی نرم‌الگوی شده به گوشه‌ای اولیه در توده‌های نفوذی نشان دهنده تشکیل magma در زون فروزانش است. این مسئله در نمودارهای [۲۵] و [۲۶] تأیید می‌شود (شکل‌های ۶ و ۷). همچنین بررسی ژئوشیمیایی نشان می‌دهد که magma این توده‌ها ماهیت عمده‌تاً متالومینوس، منزیمی، آلکالی کلسیک تا آلکالیک و شوشونیتی تا التراپاتاسیک داشته و متعلق به گرانیت‌وئیدهای نوع I (اکسیدان) هستند. مقدار پذیرفتاری مغناطیسی نیز آنها را در زمرة سری مگنتیت قرار می‌دهد.

برای بررسی نوع کانی باقی‌مانده در ناحیه منشأ و درجه ذوب‌بخشی می‌توان از عناصر نادرخاکی استفاده کرد. در این مورد فراوانی عنصر بهشت ناسازگار La و کمتر ناسازگار Sm می‌تواند ترکیب کلی ناحیه منشأ را توضیح دهد. زیرا تمرکز این دو عنصر به طور متفاوتی توسط منشأ (پریدوتیت‌های سکانس گوشه‌ای) اسپینل‌دار و یا گارنت‌دار کنترل نمی‌شود [۴۵]. از طرف دیگر، نسبت Sm/Yb به ترکیب کانی‌شناسی ناحیه منشأ وابسته است، زیرا که Yb بهشت در گارنت نسبت به کلینوپیروکسن و یا اسپینل سازگار است. برای پی‌بردن به ترکیب کانی‌شناسی ناحیه منشأ و درجه ذوب‌بخشی توده‌های نفوذی مورد مطالعه از نمودار Sm/Yb در مقابل La/Sm استفاده شده است (شکل ۱۳). ذوب‌بخشی اسپینل لرزولیت magma با نسبتهای Sm/Yb مشابه با مقدار این نسبت در ناحیه منشأ تولید نموده، در حالی که میزان نسبت Sm/La با افزایش درجه ذوب‌بخشی



شکل ۱۳. تغییرات عناصر نادرخاکی در مagmaهای توده‌های نفوذی مورد مطالعه بر اساس نمودار  $\text{Sm}/\text{Yb}$  در مقابل  $\text{La}/\text{Sm}$ . روند گوشه‌ای (Mantle array) در این شکل (خط ضخیم) توسط ترکیب گوشه‌ای تهی شده نوع مورب (DM) [۵۵] و گوشه‌ای اولیه (PM) [۳۹] مشخص می‌شود. منحنیهای ذوب‌بخشی برای منشأ گوشه‌ای اسپینل لرزولیت ( $\text{Ol}_{53}+\text{Opx}_{27}+\text{Cpx}_{17}+\text{Sp}_{11}$ ) و گارنت لرزولیت ( $\text{Ol}_{60}+\text{Opx}_{10}+\text{Cpx}_{10}+\text{gt}_{10}$ ) با ترکیبات گوشه‌ای تهی شده نوع مورب و گوشه‌ای اولیه از [۴۵]. خطوط و اعداد روی منحنیهای ذوب‌بخشی برای یک منشأ گوشه‌ای است. ترکیب N-MORB و E-MORB از [۳۹].

[۳] کریمپور م.ح، "دما، نحوه تشکیل و پاراژنر مگنتیت در بخش‌های مختلف کانسار آهن سنگان خراسان"، خلاصه مقالات هفدهمین گردهمایی علومزمین (۱۳۷۷) ص ۱۶۱-۱۶۷.

[۴] کریمپور م.ح، "پتانسیل کانی‌سازی مس نوع پورفیری و طلا در محدوده تربت حیدریه تا کاشمر"، مجموعه مقالات همایش توامندیهای معدنی شرق کشور (۱۳۷۸) ص ۲۶-۱۵.

[۵] کریمپور م.ح، "کانی‌شناسی، آلتراسیون، سنگ منشأ و محیط تکتونیکی کانسارهای Iron-Oxides Cu-Au و مثالهایی از ایران"، یازدهمین همایش بلورشناسی و کانی‌شناسی ایران، دانشگاه یزد (۱۳۸۲) ص ۱۸۴-۱۸۹.

[۶] بومری م، "مطالعه ژئوشیمی  $F$  و  $Cl$  در بیوتیهای گرانیت سرنوسر در شمال شرقی ایران و استفاده از آن در تعیین منشأ کانسار آهن سنگان خراسان"، خلاصه مقالات هفدهمین گردهمایی علومزمین (۱۳۷۷) ص ۱۸۳-۱۸۱.

**تشکر و قدردانی**  
از شرکت سنگ آهن شرق ایران و کارکنان محترم معدن سنگان برای در اختیار قراردادن امکانات اسکان، غذا و حمل و نقل صمیمانه متشکریم. از شرکت طیف کانساران بینالود مشهد برای خردایش و نرمایش نمونه‌ها و ارسال نمونه‌ها به کانادا جهت آنالیز عناصر سپاسگزاریم. از جورج گرزل و ویکتور ولنسیا از گروه علومزمین دانشگاه آریزونا به خاطر انجام آنالیز سن‌سنگی تشکر می‌کنیم.

#### مراجع

- [۱] کریمپور م.ح، "بررسی منشأ و چگونگی تشکیل کانسار آهن سنگان خراسان"، مجموعه مقالات سمینار سنگ آهن، دانشکده فنی دانشگاه تهران (۱۳۶۹) ص ۲۶۹-۲۸۲.
- [۲] کریمپور م.ح، "ژئوشیمی و کانی‌شناسی کانسار سنگ آهن سنگان خراسان"، مجله بلورشناسی و کانی‌شناسی ایران، شماره ۲ (۱۳۷۳) ص ۱۴۵-۱۵۶.

- mine, NE Iran", Journal of Asian Earth Sciences* 64 (2013) 256-271.
- [17] Boomery M., "Petrography and geochemistry of the Sangān iron skarn deposit and related igneous rocks, northeastern Iran", P.h.D thesis, Akita University, Japan (1998) 226p.
- [۱۸] کریمپور م.ح.، سعادت س.، ملکزاده شفارودی الف.، "شناسایی و معرفی کانی‌سازی نوع Fe-Oxides Cu- Au و مگنتیت مرتبه با کمریند ولکانیکی- پلوتونیکی خواف- کاشمر- بردskن"، بیست و یکمین گردهمایی علوم‌زمین (۱۳۸۱)
- [۱۹] شرکت تهیه و تولید مواد اولیه فولاد خراسان، "گزارش روابط عمومی" (۱۳۸۷) ۱۰ ص.
- [20] Middlemost Eric A. K., "Magmas and magmatic rocks" Longman Pub. Company (1985) 221-226.
- [21] Maniar P. D. Piccoli, P. M., "Tectonic discrimination of granitoids", Geological Society of America Bulletin 101 (1989) 635-643.
- [22] Chappell B., White, A., "Two contrasting granite types. 25 years later", Australian Journal of Earth Sciences 48 (2001) 489-499.
- [23] Chung S. L., Lo C. H., Lee T. Y., Zhang Y., Xie Y., Li X., Wang K. L., Wang, P. L., "Diachronous uplift of the Tibetan plateau starting from 40 My ago", Nature 394 (1998) 769-773.
- [24] Frost B. R., Arculus R. J., Barnes C. G., Collins W. J., Ellis D. J., Frost C. D., "A geochemical classification of granitic rocks", Journal of Petrology 42 (2001) 2033-2048.
- [25] Pearce J. A., Harris N. W., Tindle A. G., "Trace element discrimination diagrams for the tectonic interpretation of granitic rocks", Journal of Petrology 25 (1984) 956-983.
- [26] Schandl E. S., Gorton M. P., "Application of high field strength element to discriminate tectonic setting in VMS environment", Economic Geology 97 (2002) 629-642.
- [27] Rollinson H., "Using geochemical data, Evaluation, Presentation, Interpretation", Harlow, UK, Longman (1993) 352 p.
- [28] Boynton W. V., "Cosmochemistry of the rare earth elements, Meteorite studies", in Rare Earth Element Geochemistry (P. Henderson, ed.), (Developments in Geochemistry 2), Elsevier, Amsterdam (1985) 115-1522.
- [29] Gill J. B., "Orogenic Andesites and Plate Tectonics", Springer, New York (1981).

- [۷] بومری م.، "ترکیب شیمیایی اسفن از سنگهای گرانیتی سرنوسر خواف، شمال شرقی ایران"، خلاصه مقالات هفدهمین گردهمایی علوم‌زمین (۱۳۸۲) ۱۴۵-۱۴۲ ص.
- [8] Boomeri M., Mizuta T., Ishiyama D., Nakashima K., "Fluorine and chlorine in biotite from the Sarnowsar granitic rocks, northeastern Iran", Iranian Journal of Science and Technology 30 (A1) (2006) 111-125.
- [۹] بومری م.، لشکری‌پور غ.، گرجیگ م.، "شرایط تشکیل کانسار آهن سنگان بر مبنای مجموعه کانیها در شمال شرق ایران"، دهمین همایش بلورشناسی و کانی‌شناسی ایران، دانشگاه سیستان و بلوچستان (۱۳۸۱) ۵۷-۶۳ ص.
- [۱۰] مظاہری س. الف.، "مطالعه شیمی کانیها در اسکارنهای آهن دار سنگان خراسان"، خلاصه مقالات هفدهمین گردهمایی علوم‌زمین (۱۳۷۷) ۱۸۹-۱۹۶ ص.
- [۱۱] مظاہری س. الف.، "شرایط فشار، درجه حرارت و ترکیب سیال اسکارنهای مگنتیت سنگان خواف، خراسان"، فشرده مقالات دومین همایش انجمن زمین‌شناسی ایران، دانشگاه فردوسی مشهد (۱۳۷۷) ۴۵۱-۴۵۴ ص.
- [۱۲] مظاہری س. الف.، "معرفی آمفیبولهای ناحیه سنگان خواف"، هشتمین همایش بلورشناسی و کانی‌شناسی ایران، دانشگاه فردوسی مشهد (۱۳۷۹) ۱۶۴-۱۶۸ ص.
- [۱۳] کاهنی ش.، "مطالعات ژئوشیمیایی و کانی‌شناسی تودهای C-شمالي و باگك کانسار سنگ آهن سنگان خواف"، پایان‌نامه کارشناسی ارشد زمین‌شناسی اقتصادی دانشگاه فردوسی مشهد (۱۳۸۳) ۲۴۸ ص.
- [۱۴] کریمپور م.ح.، ملکزاده شفارودی الف.، "مقایسه ژئوشیمی سنگ منشأ توده مگنتیت طلادر تنورجه و مگنتیت بدون طلای معدن سنگان، استان خراسان رضوی"، مجله بلورشناسی و کانی‌شناسی ایران، شماره ۱۳ (۱۳۸۵) ۴۳۲-۴۴۲ ص.
- [۱۵] کریمپور م.ح.، ملکزاده شفارودی الف.، "ژئوشیمی و کانی‌شناسی زون‌های اسکارنی و سنگ‌شناسی سنگ منشأ کانسار آهن سنگان خراسان"، فصلنامه علوم‌زمین، شماره ۶۵ (۱۳۸۶) ۱۰۸-۱۲۵ ص.

- [16] Malekzadeh Shafaroudi A., Karimpour M. H., Golmohammadi A., "Zircon U-Pb geochronology and petrology of intrusive rocks in the C-North and Baghak districts, Sangān iron

- Australia”, Contributions to Mineralogy and Petrology 140 (2001) 458-468.
- [42] Rubatto D., “Zircon trace element geochemistry: partitioning with garnet and the link between U-Pb ages and metamorphism”, Chemical Geology 184 (2002) 123-138.
- [43] Williams I. S., “Response of detrital zircon and monazite, and their U-Pb isotopic systems, to regional metamorphism and host-rock partial melting, Cooma Complex, southeastern Australia”, Australian Journal of Earth Sciences 48 (2001) 557-580.
- [44] Cherniak D. J., Watson E. B., “Pb diffusion in zircon”, Chemical Geology 172 (2000) 5-24.
- [45] Aldanmaz E., Pearce J. A., Thirlwall M. F., Mitchell, J. G., “Petrogenetic evolution of late Cenozoic, post-collision volcanism in western Anatolia, Turkey”, Journal of Volcanology and Geothermal Research 102 (2000) 67-95.
- [46] Muller D., Groves, D. I., “Potassic igneous rocks and associated gold-copper mineralization”, Springer-Verlag, Berlin (1995).
- [47] Rapp R. P., Shimizu N., Norman, M. D., “Reaction between slab-derived melt and peridotite in the mantle wedge: experimental constraints at 3.8 GPa.”, Chemical Geology 160 (1999) 335-356.
- [48] Prouteau G., Scaillet B., Pichavant M., Maury R., “Evidence for mantle metasomatism by hydrous silicic melts derived from subducted oceanic crust”, Nature 410 (2001) 197-200.
- [49] Avanzinelli R., Lustrino M., Mattei M., Melluso L., Conticelli S., “Potassic and ultrapotassic magmatism in the circum-Tyrrhenian region: Significance of carbonated pelitic vs. pelitic sediment recycling at destructive plate margins”, Lithos 113 (2009) 213-227.
- [50] Benito R., Lo pez-Ruiz J., Cebria J. M., Hertogen J., Doblas M., Oyarzun R., Demaiffe D., “Sr and O isotope constraints on source and crustal contamination in the high-K calc-alkaline and shoshonitic Neogene volcanic rocks of SE Spain”, Lithos 46 (1999) 773-802.
- [51] Bachmann O., Bergantz G.W., “Rhyolites and their source mushes across tectonic settings”, Journal of Petrology 49 (2008) 2277-2285.
- [52] Mamani M., Worner G., Thouret J. C., “Tracing a major crustal domain boundary based on the geochemistry of minor volcanic centers in southern Peru”, 7<sup>th</sup> International Symposium on Andean Geodynamics (ISAG 2008, Nice), Extended Abstracts (2008) 298-301.
- [30] Wilson M., “Igneous Petrogenesis”, Unwin Hyman, London (1989).
- [31] Pearce J. A., “Role of the sub-continental lithosphere in magma genesis at active continental margins”, In: Hawkesworth, C.J., Norry, M.J. (Eds.), Continental Basalts and Mantle Xenoliths, Shiva, Nantwich (1983) 230-249.
- [32] Ryerson F. J., Watson E. B., “Rutile saturation in magmas: implications for Ti Nb-Ta depletion in island-arc basalts”, Earth and Planetary Science Letters 86 (1987) 225-239.
- [33] Reagan M. K., Gill J. B., “Coexisting calc-alkaline and high niobium basalts from Turrialba volcano, Costa Rica: implication for residual titanates in arc magma source”, Journal of Geophysical Research 94 (1989) 4619-4633.
- [34] Pearce J. A., Parkinson I. J., “Trace element models for mantle melting: application to volcanic arc petrogenesis”, In: Prichard, H. M., Alabaster, T., Harris, N. B. W., Neary, C. R. (Eds.), Magmatic Processes in Plate Tectonics, vol. 76, Geological Society of London Special Publication (1993) 373-403.
- [35] Martin H., “The adakitic magmas: modern analogues of Achaean granitoids”, Lithos 46 (3) (1999) 411-429.
- [36] Walker J. A., Patino L. C., Carr M. J., Feigenson M. D., “Slab control over HFSE depletions in central Nicaragua”, Earth and Planetary Science Letters 192 (2001) 533-543.
- [37] Gust D. A., Arculus R. A., Kersting A. B., “Aspects of magma sources and processes in the Honshu arc”, The Canadian Mineralogist 35 (1997) 347-365.
- [38] Wu F. Y., Jahn B. M., Wilde S. A., Lo C. H., Yui T. F., Lin Q., Ge, W. C., Sun D. Y., “Highly fractionated I-type granites in China (I): geochronology and petrogenesis”, Lithos 66 (2003) 241-273.
- [39] Sun S. S., McDonough W. F., “Chemical and isotopic systematics of oceanic basalts: implications for mantle composition and processes”, In: Magmatism in the Ocean: Basins. The Geological Society of London, special publication 42 (1989).
- [40] Ishihara S., “Significance of the magnetite-series and ilmenite-series of granitoids in mineral exploration”, Fifth IAGOD Symposium (1981) 309-312.
- [41] Rubatto D., Williams I. S., Buick I. S., “Zircon and monazite response to prograde metamorphism in the Reynolds Range Central

*Italy)", Contributions to Mineralogy and Petrology 112 (1992) 450–462.*

[55] McKenzie D., O'Nions R. K., "Partial melt distribution from inversion of rare earth element concentrators", Journal of Petrology 32 (1991) 1021-1091.

[53] Annen C., Blundy J. D., Sparks, R. S. J., "The Genesis of calc-alkaline intermediate and silicic magmas in deep crustal hot zones", Journal of Petrology 47 (2006) 505-539.

[54] Esperanca S., Crisci M., de Rosa R., Mazzuli R., "The role of the crust in the magmatic evolution of the island Lipari (Aeolian Islands,

Archive of SID